Étude de l'écologie thermique du Phyllodactyle d'Europe (Euleptes europaea, Gené, 1839) sur l'île du Grand Rouveau

Détermination des paramètres thermiques favorables à l'occupation des gîtes artificiels









Encadrante : Eva Tankovic (Initiative PIM)

Co-encadrante : Julie Quessada (AGIR écologique, SETE-CNRS)

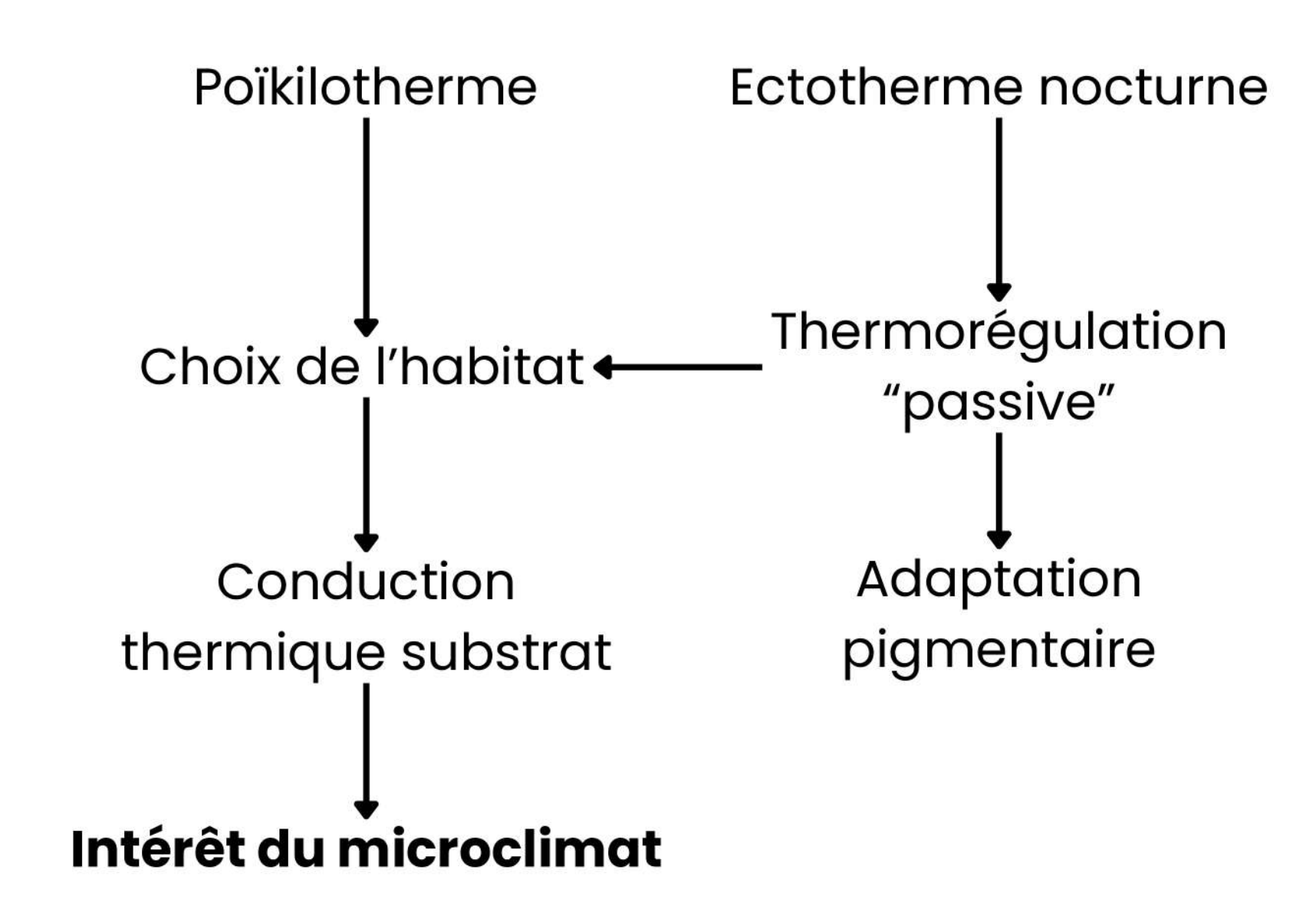
Co-encadrant : Vincent Rivière (AGIR écologique)

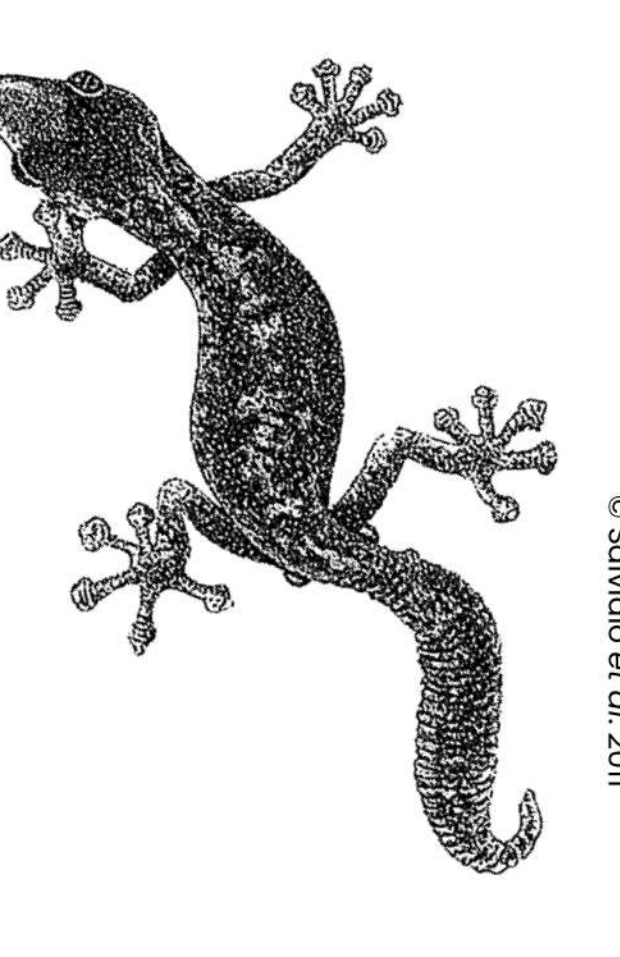
Écologie

- ~ 4 cm (SVL)
- Insectivore
- Rupicole
- Nocturne

Espèce discrète

Écologie thermique





Aire de répartition

Introduction

- Quasi-insulaire
- Relictuelle
- Centrée autour de la mer tyrrhénienne



- Corse, les archipels de la côte provençale (Frioul, Riou, Embiez, Lérins) et dans les Alpes-Maritimes
- Archipel toscan, Sardaigne, Sicile, Toscane et Campanie
- Îles de l'archipel de la Galite



Aire de répartition du Phyllodactyle d'Europe d'après Giacalone et al., 2024

Phyllodactyle d'Europe

Introduction

Menaces & statuts

- Rénovation de bâti ancien & sécurisation de milieux rupestres
- Isolement des populations
- Introduction d'espèces allochtones
- Changement climatique





Annexe II Directive Habitat (France)



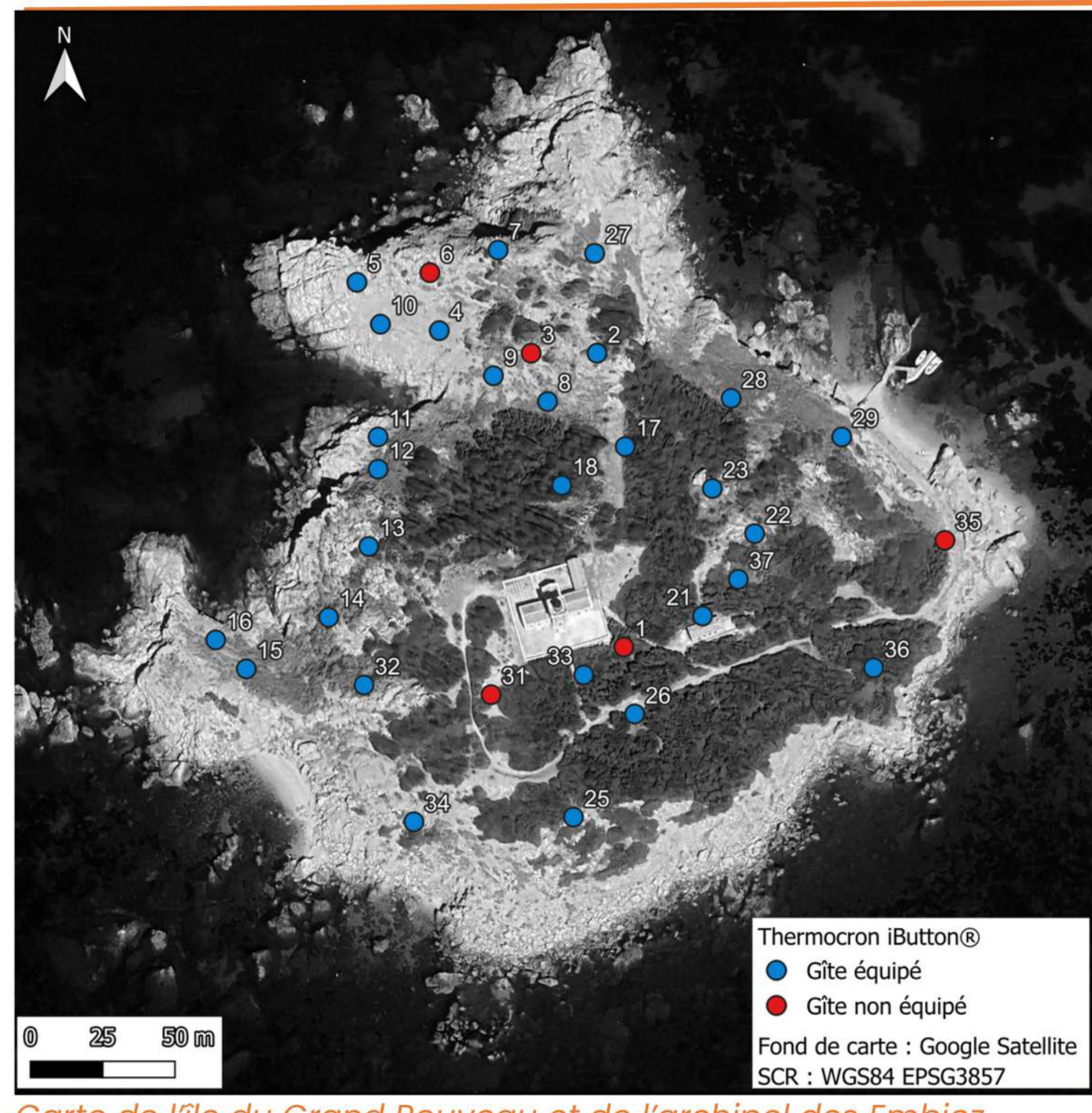
Photographie d'un Phyllodactyle d'Europe adulte



Thèse CIFRE par Julie Quessada

Dynamique et gestion des petites populations isolées : collecte et intégration des données pour la conservation du Phyllodactyle d'Europe

Site d'étude



Île du Petit Rouveau

Île du Grand
Rouveau

Île des Embiez

Six-Fours-Les-Plages

- Propriété du Conservatoire du Littoral (2000)
- Site marin d'Importance Communautaire (2003)
- Natura 2000 Embiez Cap Sicié (2003)
- ASPIM (2011)

Île du Grand Rouveau

2013 Mise en place des premiers suivis *E. europaea (gîtes)*

2022 Première étude thermique (Quessada *et al.*, 2024)

Installation de capteurs Thermocron iButton®

2024



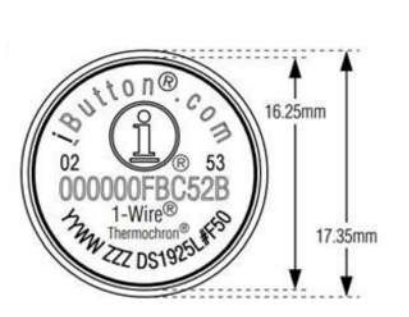
Retirer les pierres



Capture des individus



Relevé de la classe d'âge, taille, du sexe, du poids et toutes autres remarques (oeufs, autotomie ...) Photographie du dos pour la photo-identification





Photographie d'un gîte fermé



Photographie d'un gîte ouvert



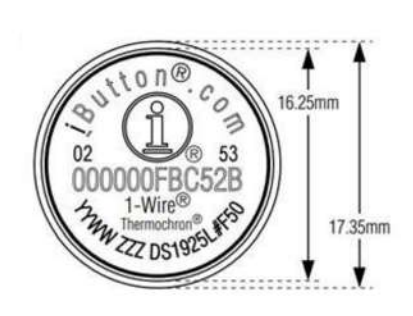
Retirer les pierres



Capture des individus



Relevé de la classe d'âge, taille, du sexe, du poids et toutes autres remarques (oeufs, autotomie ...) Photographie du dos pour la photo-identification





Ouverture du gîte dans une caisse



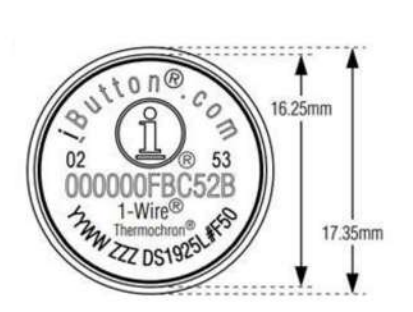
Retirer les pierres



Capture des individus



Relevé de la classe d'âge, taille, du sexe, du poids et toutes autres remarques (oeufs, autotomie ...) Photographie du dos pour la photo-identification





Détermination des caractéristiques physiques



Photographie du patron dorsal





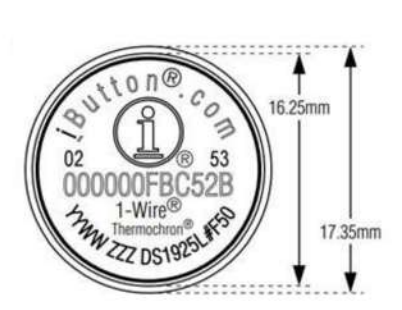
Retirer les pierres



Capture des individus



Relevé de la classe d'âge, taille, du sexe, du poids et toutes autres remarques (oeufs, autotomie ...) Photographie du dos pour la photo-identification





Relevé des données thermiques

Protocole de suivi des températures



Macroclimatiques

Introduction

Fréquence d'acquisition : 1 donnée/heure

Microclimatiques

Installation des capteurs dans les 28 gîtes : 08/2024

Fréquence d'acquisition : 1 donnée/heure



Sonde Lascar Electronics EL-USB-1

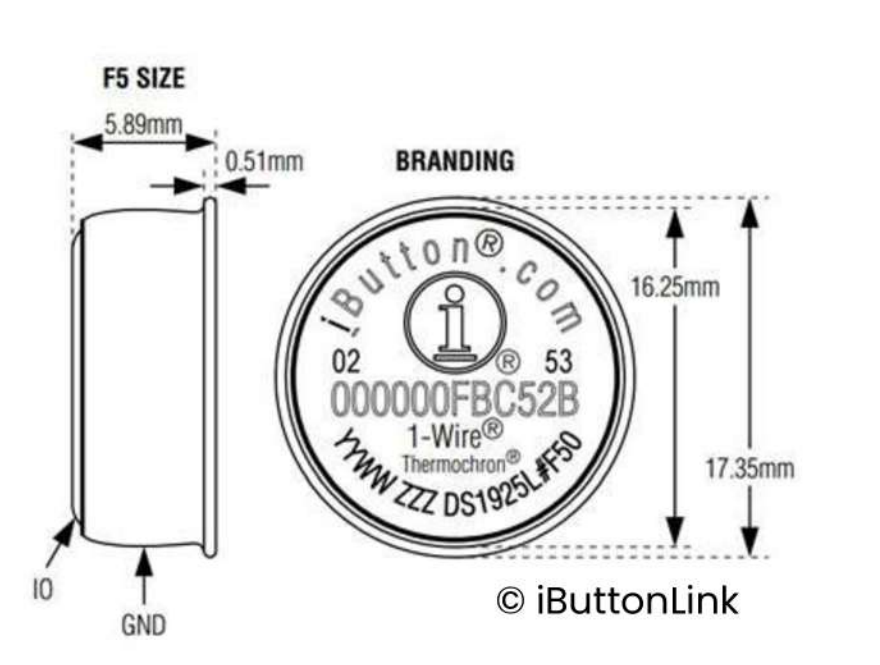




Schéma d'un capteur Thermocron® – Hygrochron™ iButton® et son lecteur

Traitement et analyses des données

• Effectifs: 140 observations (28 x 5)

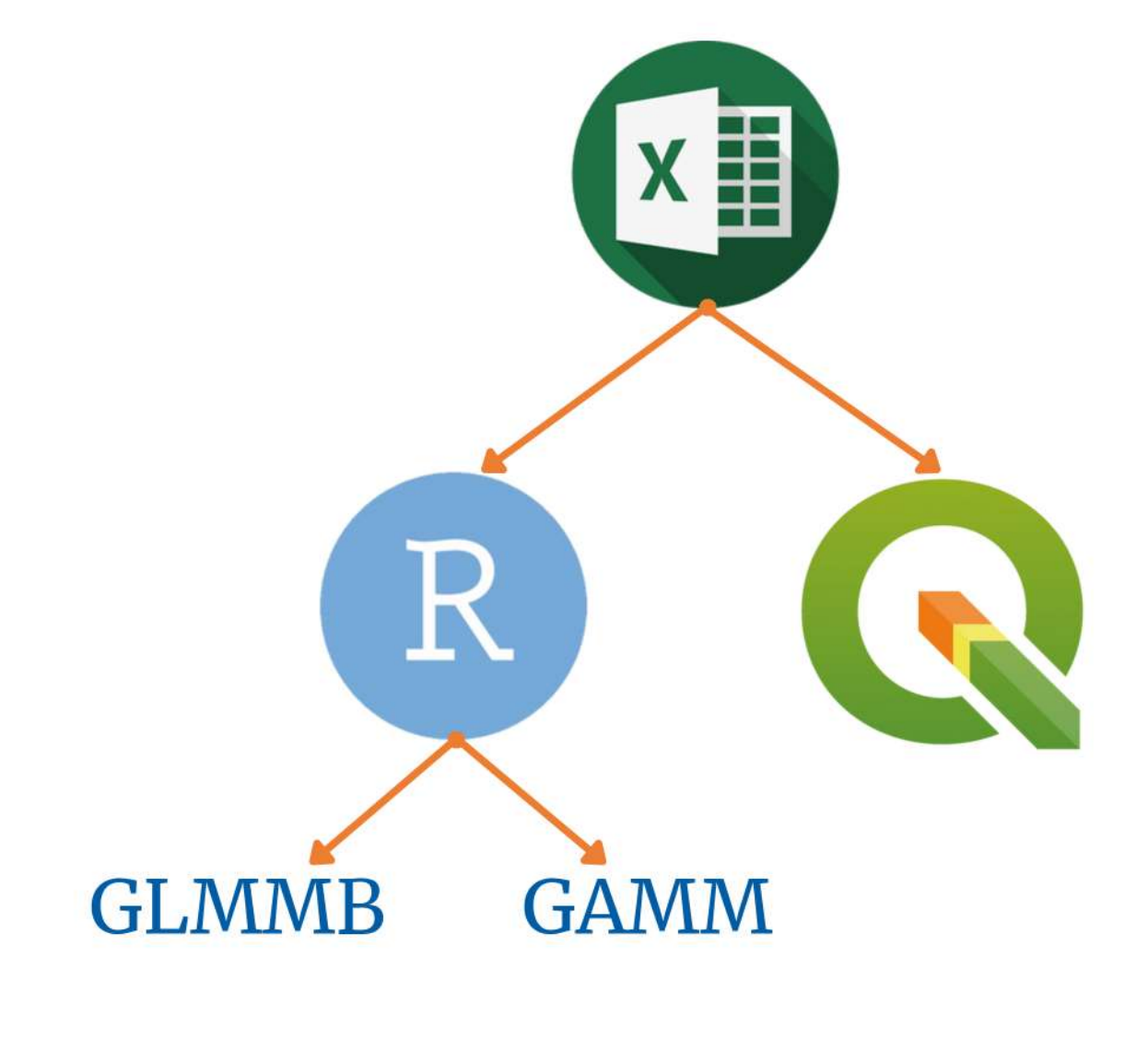
Macroclimatiques : 7500 données

Microclimatiques : 210 000 données

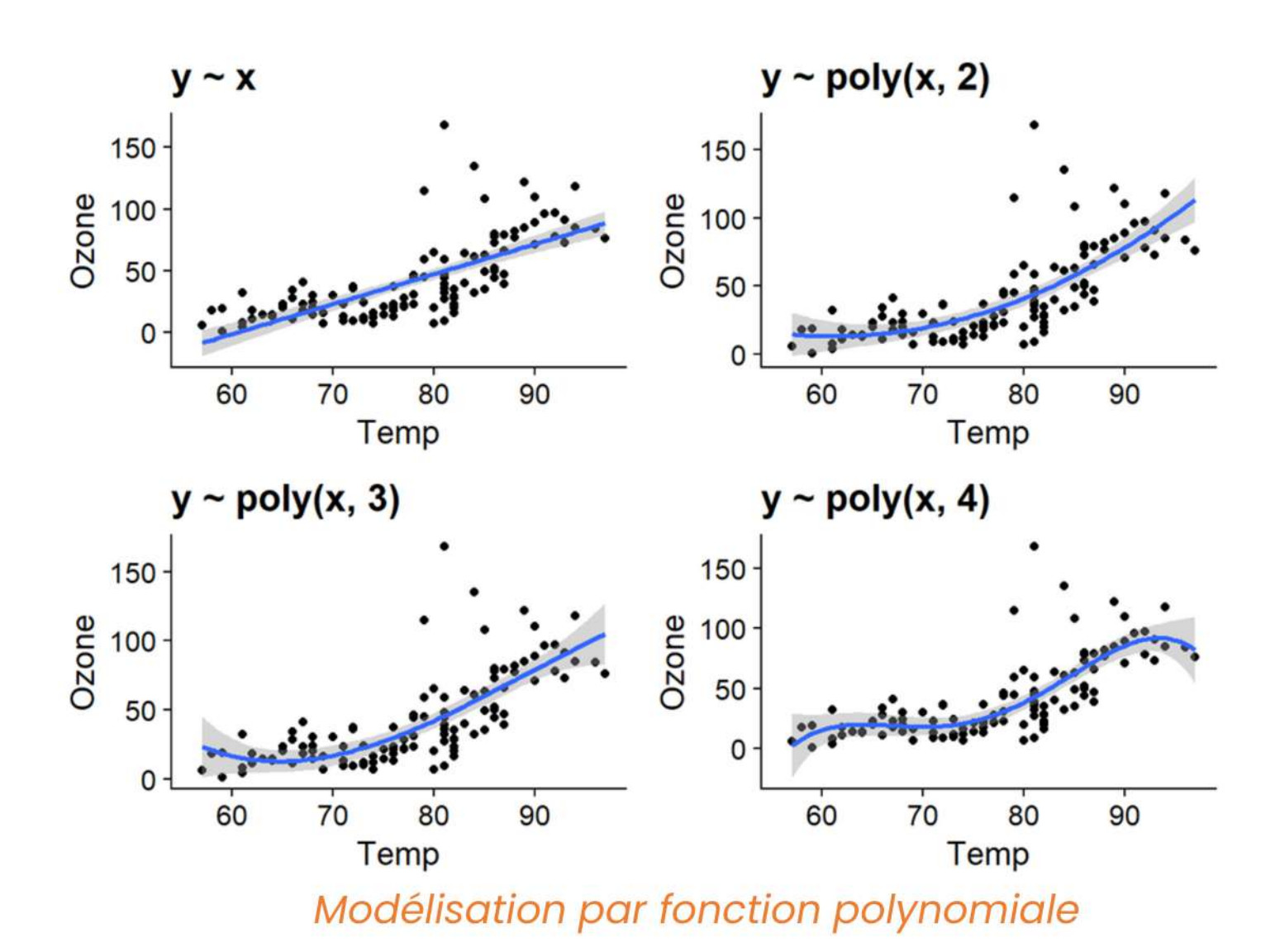


Création des variables nécessaires aux modèles

Packages R utilisés : dplyr, tidyr, ggplot2, brms, bayesplot, loo, mgcv & itsadug

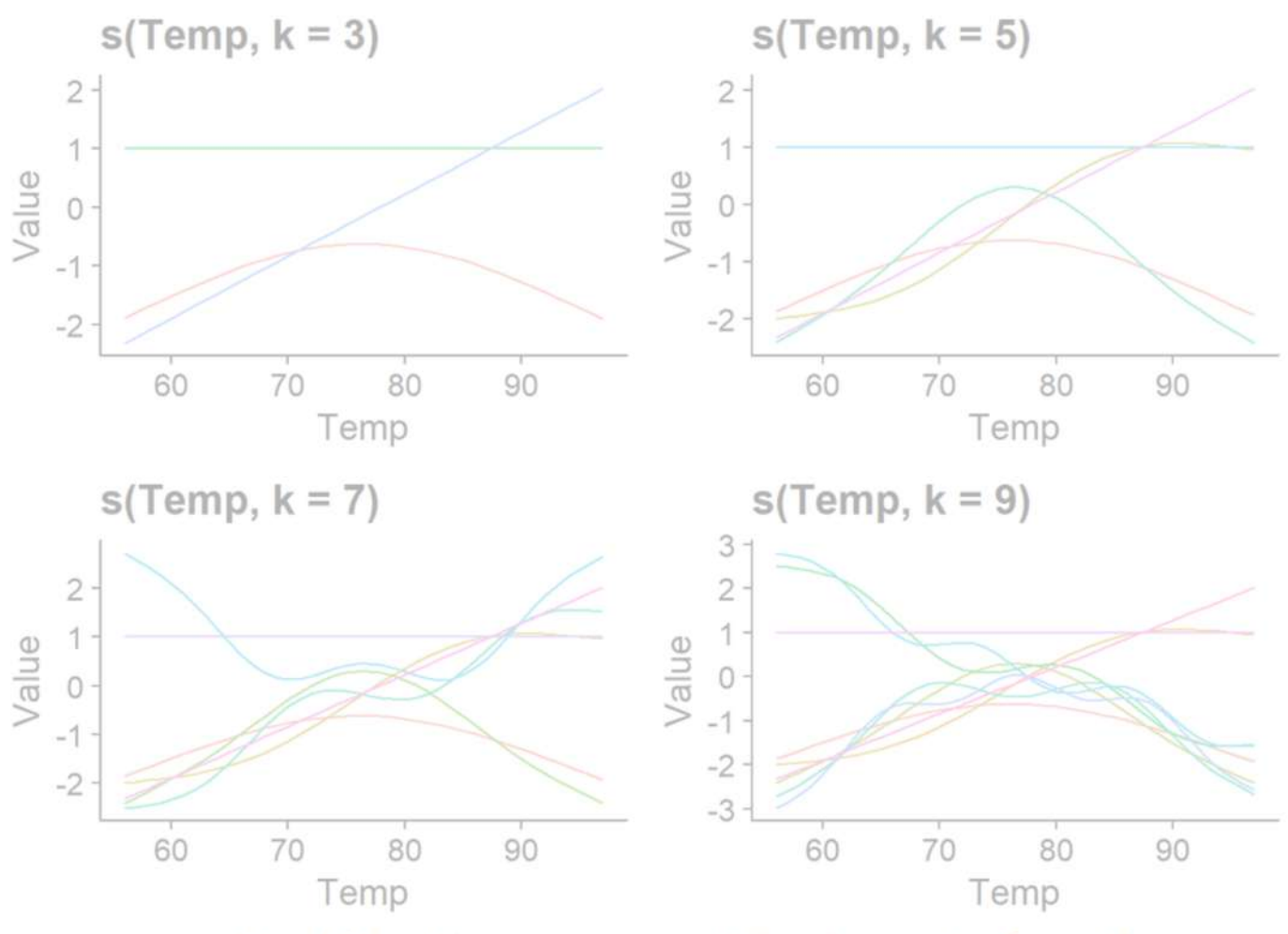






Modélisation linéaire polynomiale

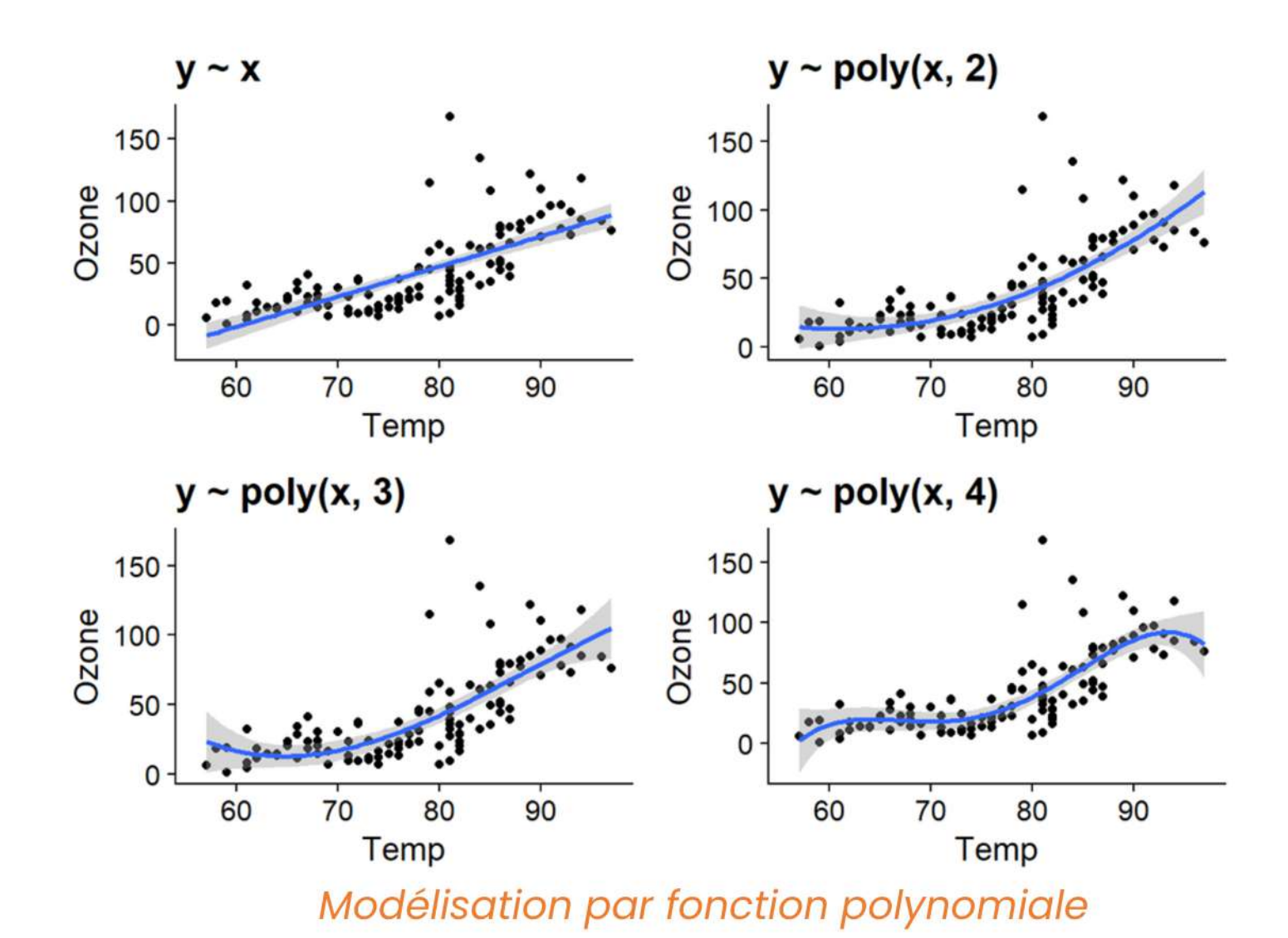
- temps calculs rapides
- rarement bien ajustée



Modélisation par combinaison de fonctions

Modélisation non-linéaire (GAMM)

- combinaison fonctions de base (k)
- ajustement plus flexible
- temps calculs longs
- modèles complexes

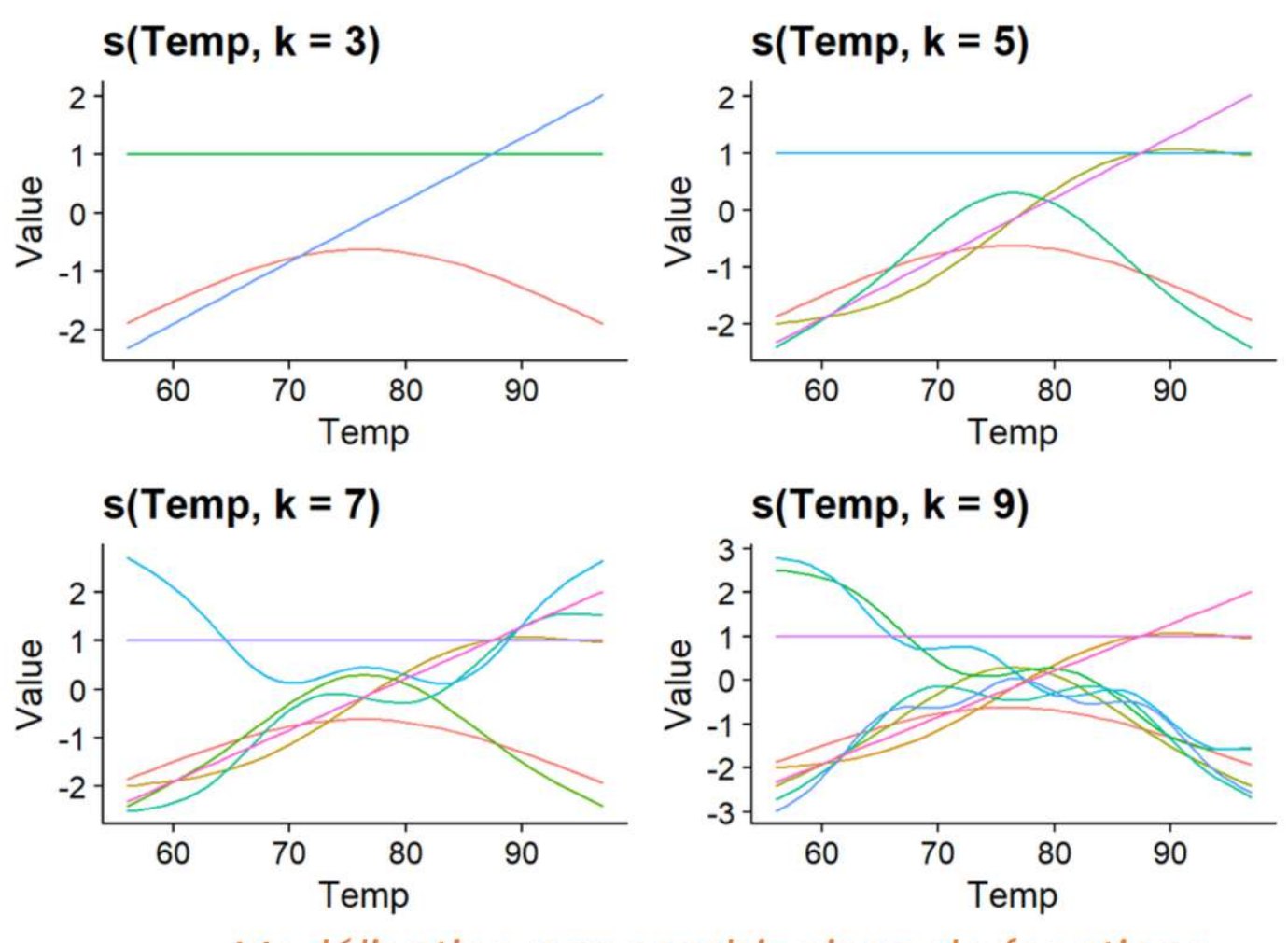


Modélisation linéaire polynomiale

• temps calculs rapides

Introduction

rarement bien ajustée



Modélisation par combinaison de fonctions

Modélisation non-linéaire (GAMM)

- combinaison fonctions de base (k)
- ajustement plus flexible
- temps calculs longs
- modèles complexes

Modèle Additif Généralisé Mixte (GAMM)

 $\Delta T \sim f(temps)$:attractivité + f(heure):attractivité + (1 | jour)

Approche fréquentiste
Non-linéaire
Loi normale
Auto-corrélation des données

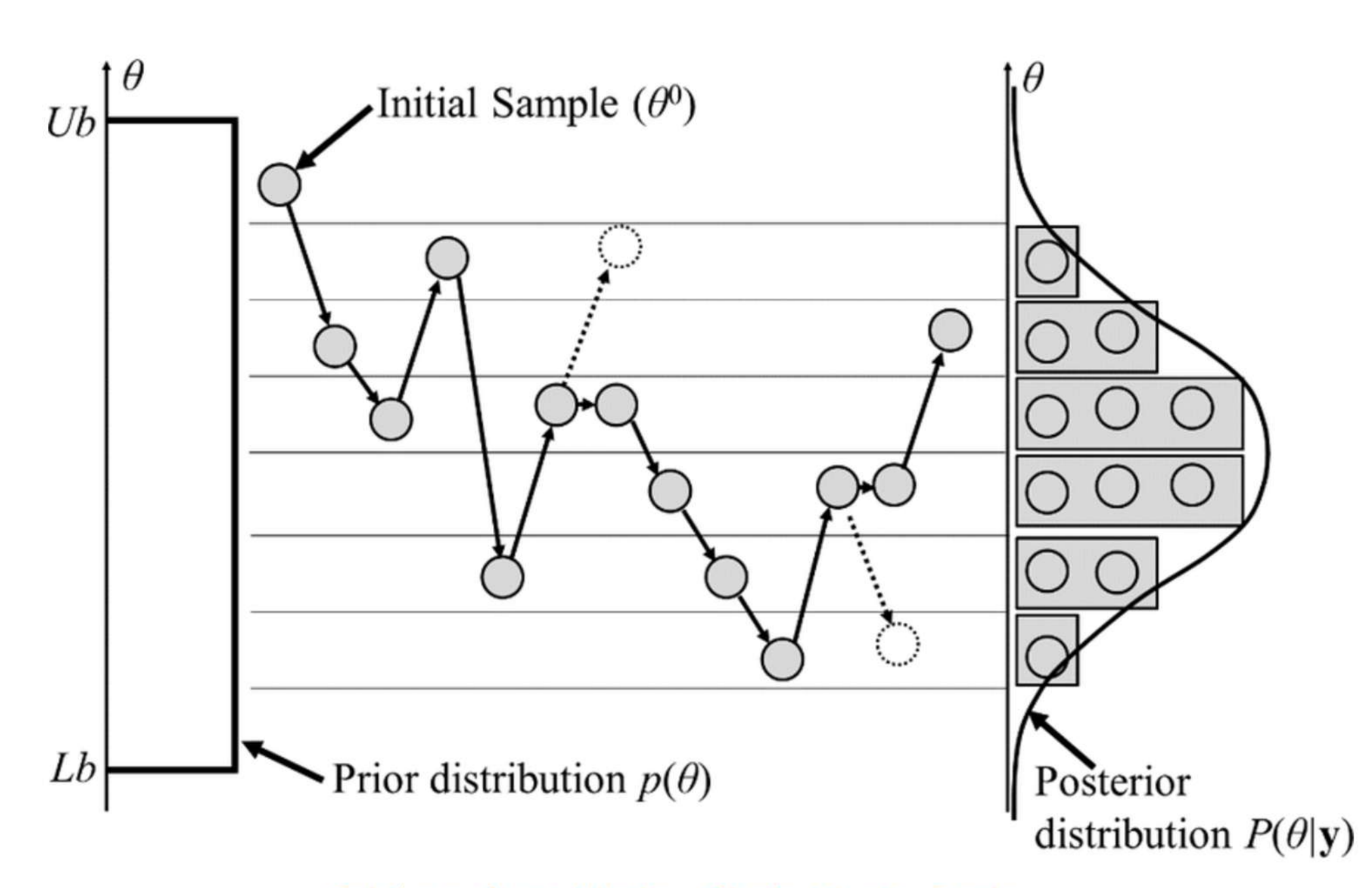
Variable	Signification	Valeurs
temps	Nombre de jours depuis le début du suivi	0 à 314
heure	Heure du relevé	1 à 24
attractivité	Niveau d'attractivité des gîtes	Nulle, Faible, Forte
Ts	Température de la sonde (°C)	[-0,3 ; 25]
Tm	Température moyenne des gîtes d'une même classe d'attractivité (nulle, faible, forte) (°C)] 5 ; 39 [
ΔT	Différence de température entre Tm et la température de la sonde Ts $(Tm-Ts)$ (°C)] -1 ; 18 [

Modèle Linéaire Généralisé Mixte Bayésien (GLMMB) - Théorie

Approche probabiliste

Introduction

- Robuste (petits jeux données)
- Quantification directe de l'incertitude



Conclusion

Schéma d'une Markov Chain Monte-Carlo

Modèle Linéaire Généralisé Mixte Bayésien (GLMMB)

Introduction

effectif ~
$$Tmax + Tmax^2 + Qmax + (1 | id_gite)$$

Approche probabiliste & linéaire Loi négative binomiale 3 chaînes de Markov 2000 itérations 1 effet aléatoire du gîte

Conclusion

Variable	Signification	Valeurs
date	Date du jour du relevé	=
id_gite	Identifiant du gîte	2 à 37
effectif	Nombre d'individus au sein du gîte le jour du relevé	0 à 45
Tmax	Température maximale au sein du gîte la veille du jour du relevé (°C)] 12 - 42 [
Qmax	5% des températures les plus hautes, au sein du gîte, sur l'ensemble du suivi (°C)] 26 - 36 [

Résultats du suivi des effectifs

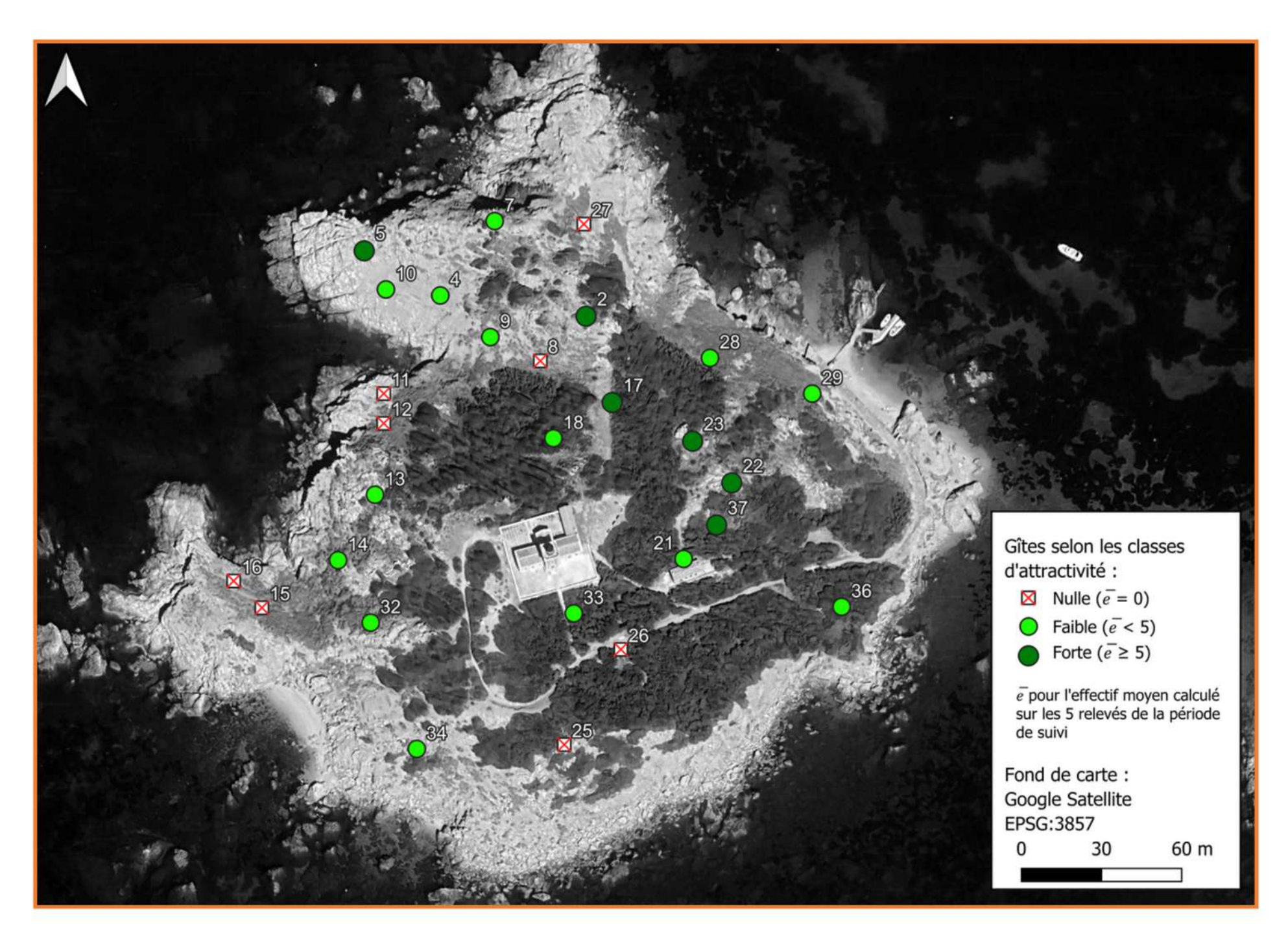
Occupation hétérogène

Hétérogénéité des effectifs moyens \overline{e} sur les 5 relevés :

- $n^{\circ}23 (\overline{e} = 27.4 \pm 14.2; max = 45)$ •
- n°5 (\overline{e} = 26 ± 3,5; max = 29) •
- n°13 (\overline{e} = 1,2 ± 1,3; max = 3) •
- n°33 (\bar{e} = 1 ± 1; max = 2) •
- n°8 $(\overline{e} = 0)$
- n°15 $(\bar{e} = 0)$ •



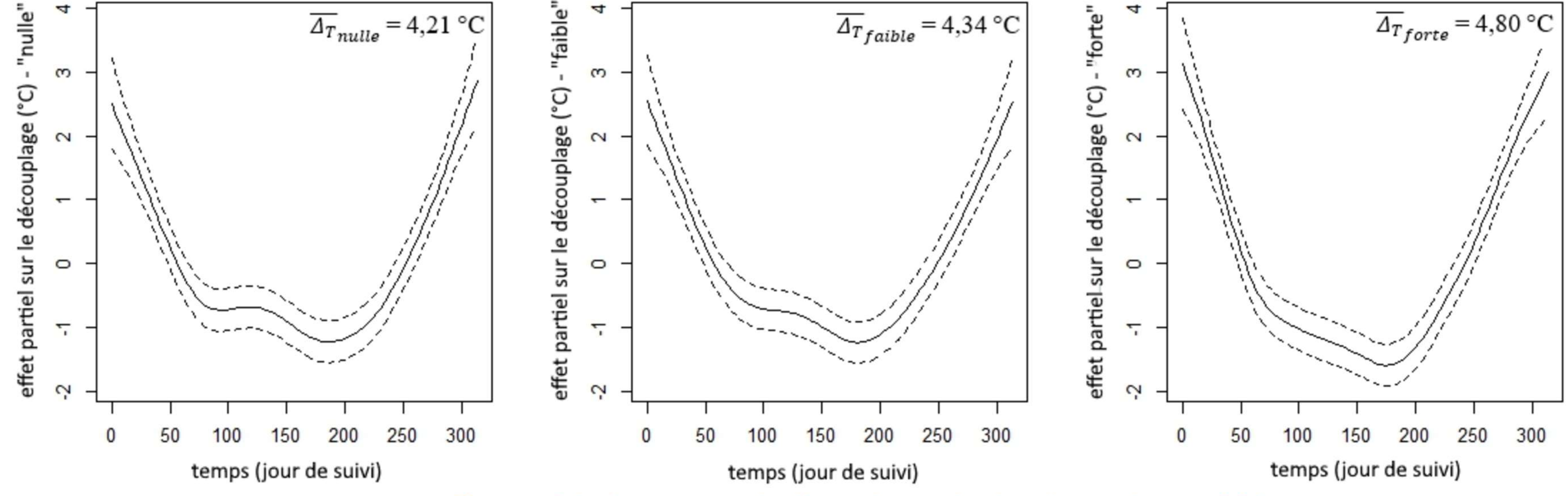
Création des classes d'attractivité Nulle $\overline{e} = 0$; Faible $\overline{e} < 5$ & Forte $\overline{e} \ge 5$



Répartition des gîtes selon leur classe d'attractivité

Effet du temps sur le découplage (GAMM)

Effet partiel : la déviation (°C) estimée par le modèle par rapport à la moyenne prédite du découplage



Effets partiels du temps sur le découplage selon les classes d'attractivité

 ΔT Nulle : [3,0 ; 7,1] °C

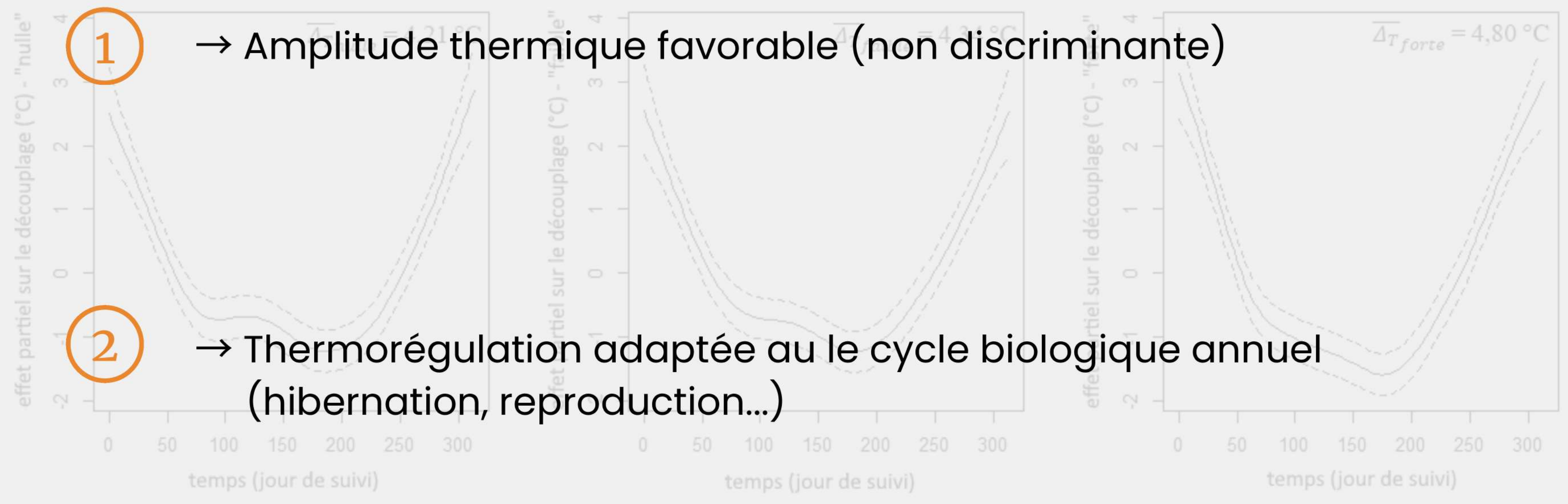
Introduction

 ΔT Faible : [3,1;6,9] °C

△T Forte: [3,2;7,9] °C

Effet du temps sur le découplage (GAMM)

Effet partiel : la déviation (°C) estimée par le modèle par rapport à la moyenne prédite du découplage



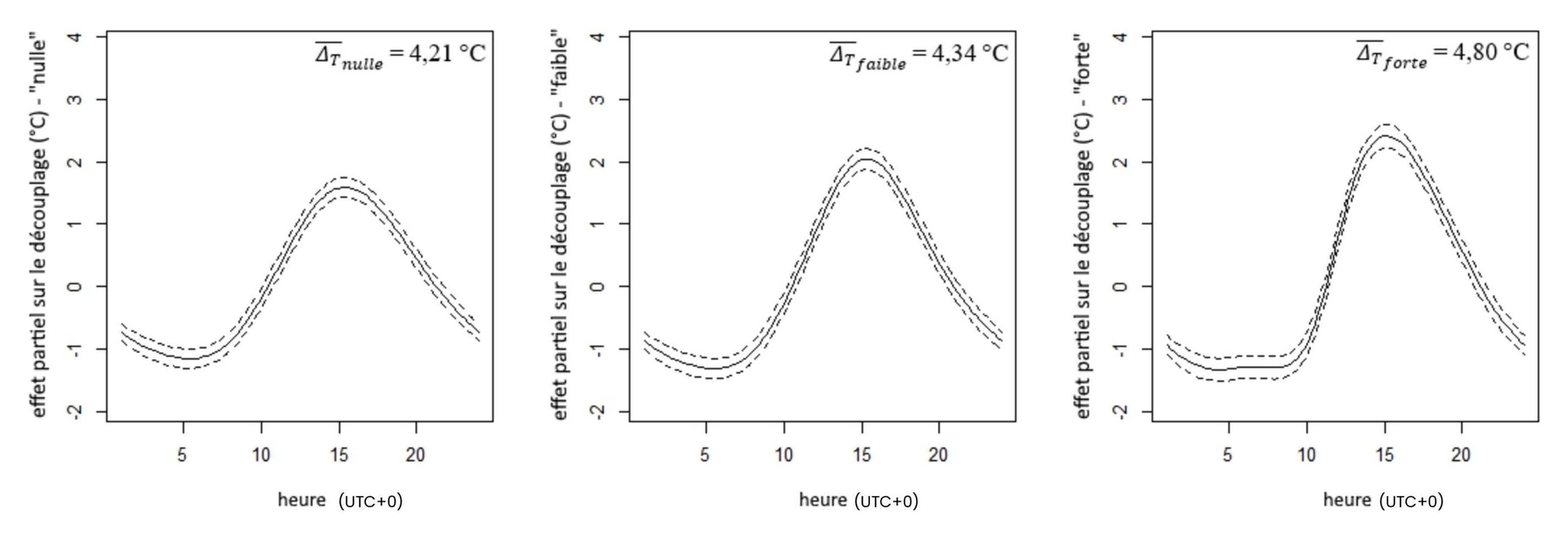
Effets partiels du temps sur le découplage selon les classes d'attractivité

△T Nulle: [3,0;7,1] °C

△T Faible: [3,1;6,9] °C

△T Forte: [3,2;7,9] °C

Profil thermique journalier (GAMM)



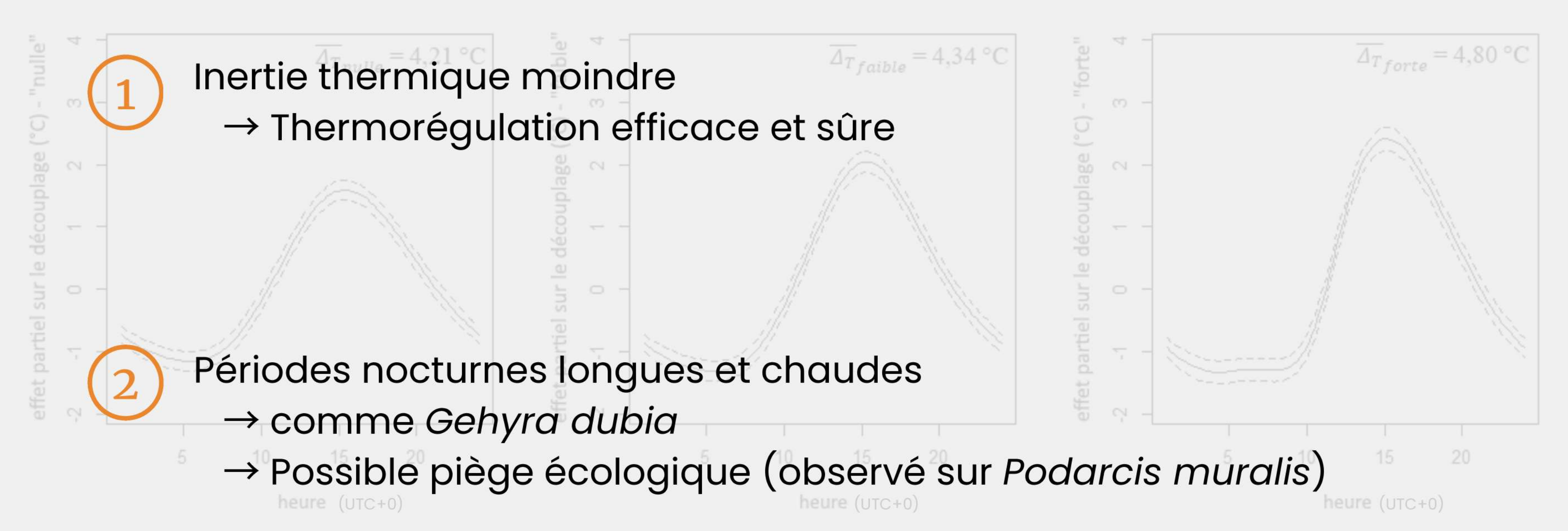
Effets partiels de l'heure sur le découplage selon les classes d'attractivité

 ΔT Nulle: [3,0; 5,8] °C

 ΔT Faible : [3,0 ; 6,3] °C

 ΔT Forte : [3,5;7,2] °C

Profil thermique journalier (GAMM)



Effets partiels de l'heure sur le découplage selon les classes d'attractivité

△T Nulle: [3,0;5,8] °C

△T Faible: [3,0;6,3] °C

△T Forte: [3,5;7,2] °C

Résultats du modèle GLMMB

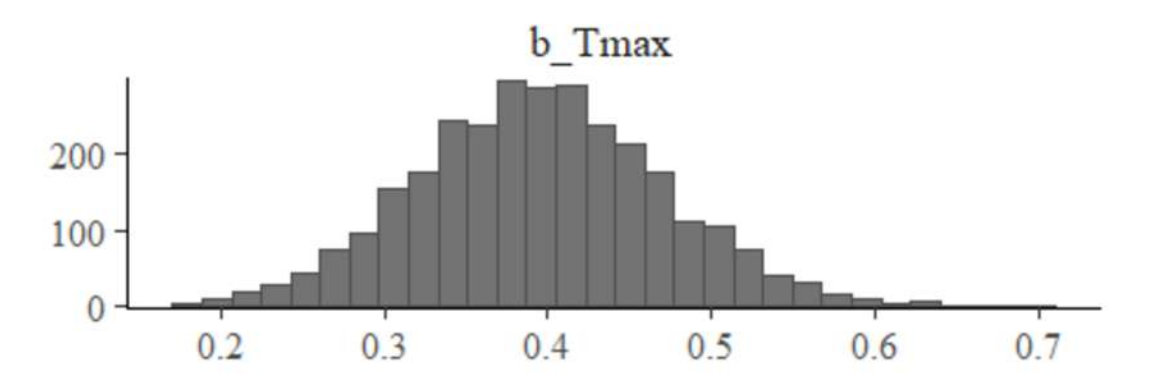
Estimates moyens des paramètres

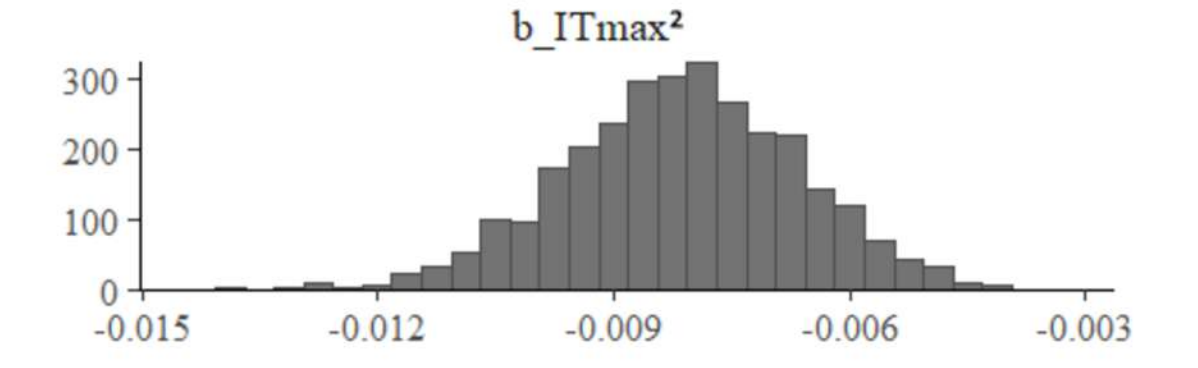
- $Tmax: 0,40 \in [0,25; 0,55] **$
- $Tmax^2$: $-0.01 \in [-0.01; -0.005] *$
- $Qmax: 0,40 \in [-0,22; 0,97]$
- $id_qite : 2,42 \in [1,66; 3,48] ***$

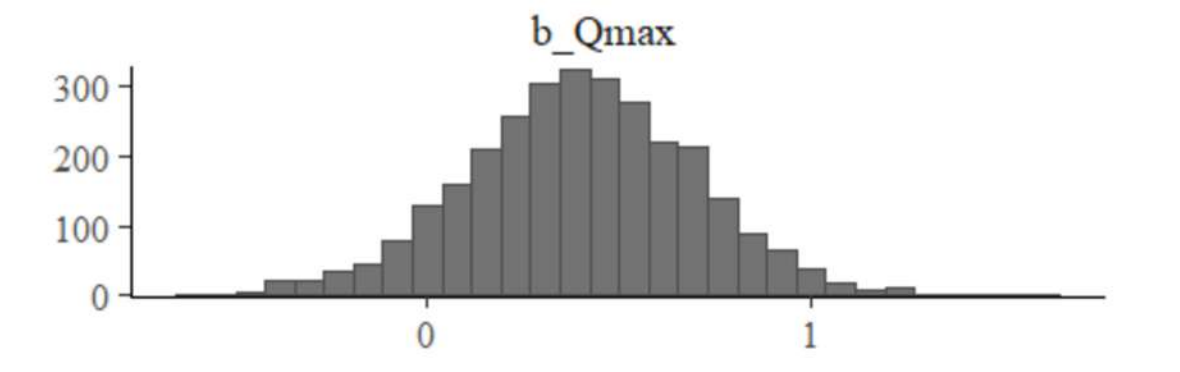


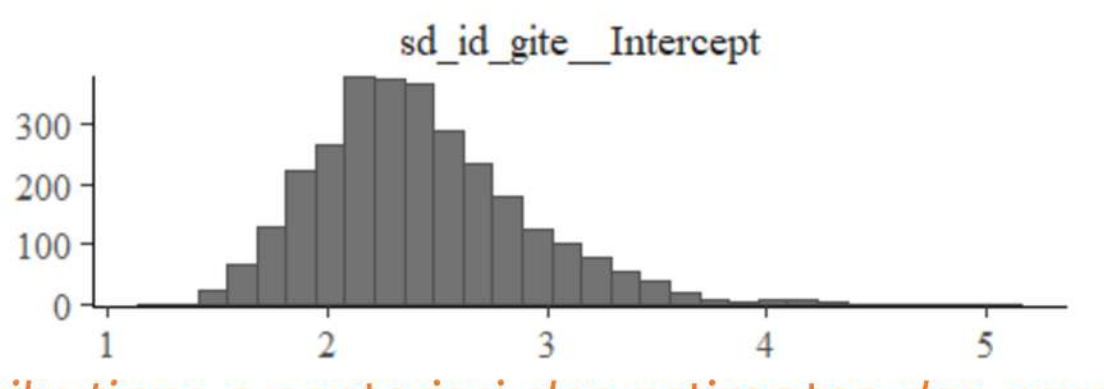
Températures trop chaudes : risque de surchauffe





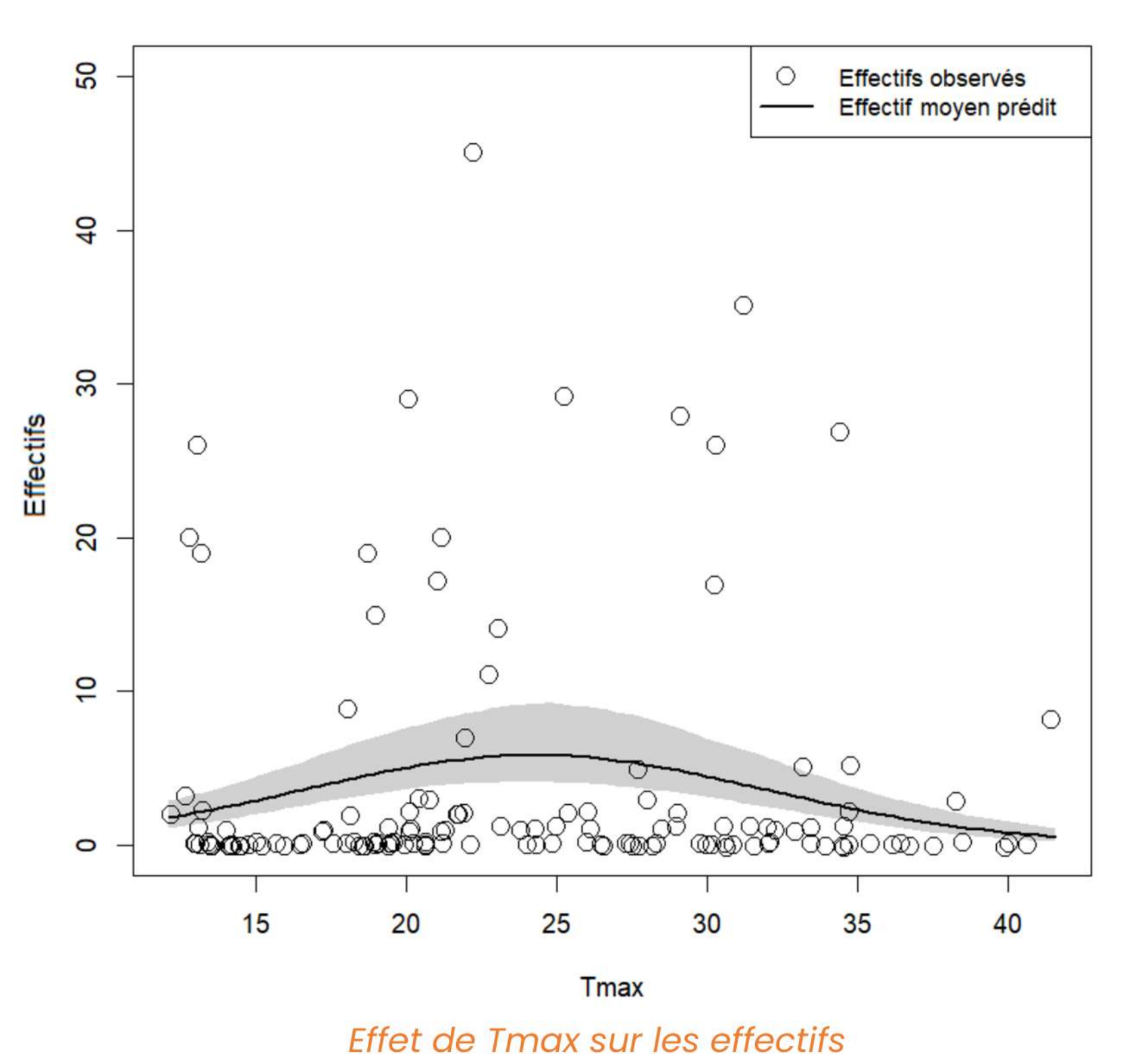






Distributions a posteriori des estimates des paramètres

Effet de *Tmax* sur l'effectif au sein des gîtes (GLMMB)



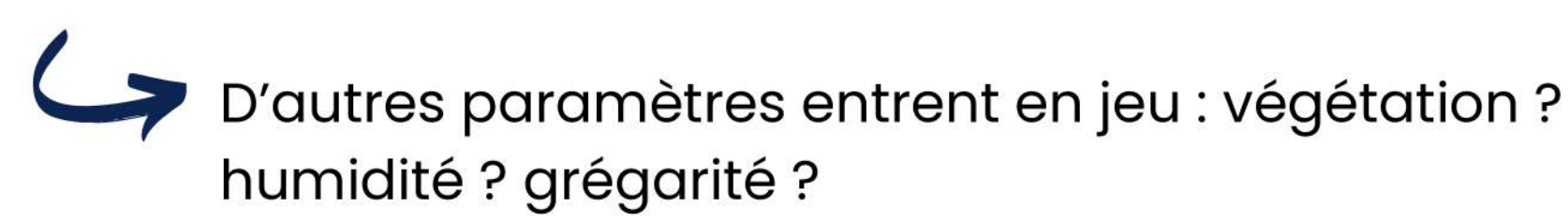
• $Tmax \in [12; 42] \, ^{\circ}C$

Effet maximal de Tmax à 24,3 °C



~ Températures printanières

Effet significatif mais non suffisant

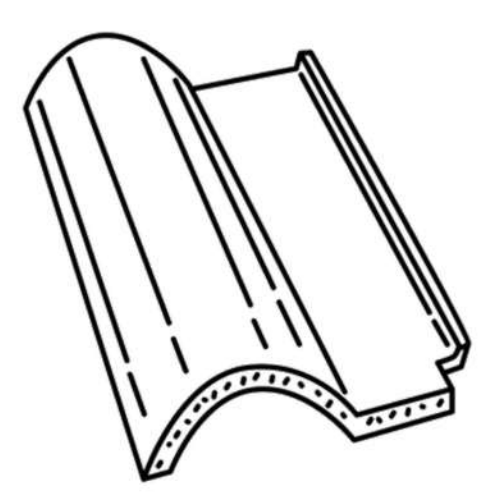


Récapitulatif des résultats

- Les gîtes les plus appréciés présentent :
 - Des températures plus chaudes (à toutes les échelles)
 - Forte amplitude saisonnière : découplage entre [3,2 ; 7,9] °C
 - Forte amplitude journalière : découplage entre [3,5 ; 7,2] °C
 - Périodes thermiques nocturnes plus longues et chaudes



Des gîtes plus occupés que d'autres sans tendance spatiale claire.

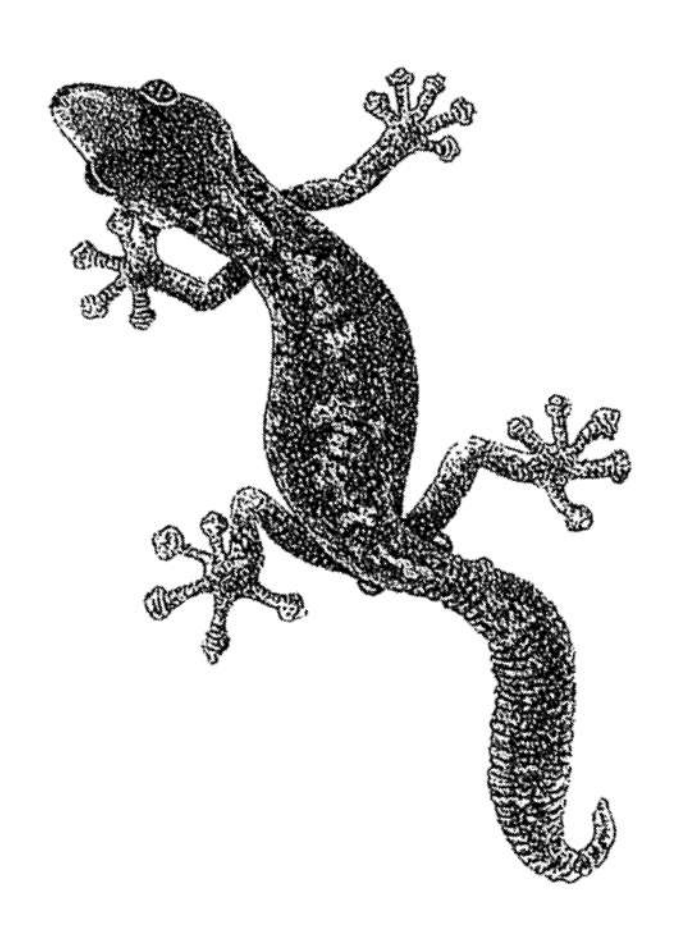


Conclusion

Approfondissement
des connaissances
sur l'écologie thermique
du Phyllodactyle d'Europe



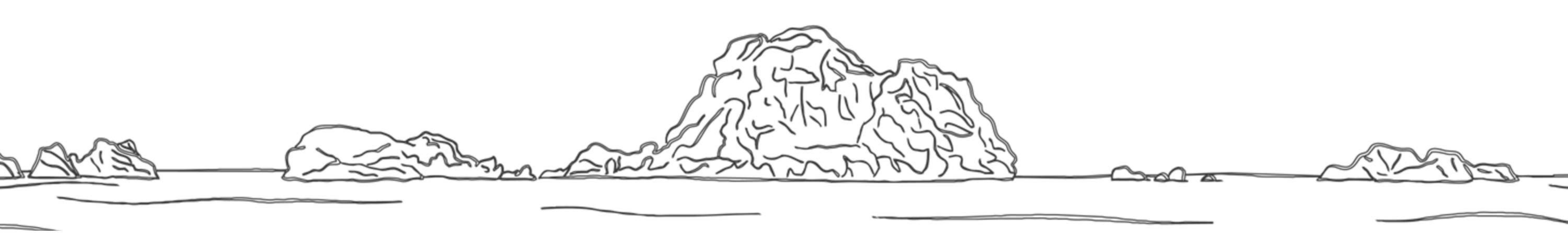
Introductions de nouveaux axes de recherches sur l'écologie thermique de l'espèce



Nouvelles pistes dans l'installation de gîtes artificiels attractifs (île de Gargalu, île Riou) & mesures de compensation de pertes d'habitat



Un stage riche en expérience et souvenirs qui met fin à mon parcours académique!



Merci!

Thank you! Gracias!

Faleminderit! Σας ευχαριστώ!

Obrigado!

Bibliographie non exhaustive

Bowles P (2024) Euleptes europaea (Europe assessment). The IUCN Red List of Threatened Species 2024: https://dx.doi.org/10.2305/IUCN.UK.2024-1.RLTS.T61446A207989942.en

Delaugerre M (1980) Sur l'Histoire Naturelle de Phyllodactylus europaeus (Gené, 1838) (Gekkonidae, Sauria, Reptiles). Port Cros : Étude d'une population naturelle. pp. 147-175.

Delaugerre M (1984) Sur l'écologie thermique des geckos *Phyllodactylus europaeus, Hemidactylus turcicus* et *Tarentola mauritanica*: rythmes d'activité, température et activité, répartition altitudinale. Travaux scientifiques du parc naturel régional de Corse 3 (2): pp. 96-121.

Deso G, Reynier T, Rato C (2024) Unsuspected Pollinator Potential? First DNA Dietary Analysis in *Euleptes Europaea* (Gené, 1839) and Confirmation of an Omnivorous Diet Using Video Surveillance. Amphibia-Reptilia 45: pp. 455-463. https://doi.org/10.1163/15685381-bja10201

Directive Habitats (2007) DIRECTIVE 92/43/CEE DU CONSEIL du 21 mai 1992 concernant la conservation des habitats naturels ainsi que de la faune et de la flore sauvages - Version consolidée de 2007.

Doucette L, Duncan R, Osborne W, Evans M, Georges A, Gruber B, Sarre S (2023) Climate Warming Drives a Temperate-Zone Lizard to Its Upper Thermal Limits, Restricting Activity, and Increasing Energetic Costs. Scientific Reports 13 (1). https://doi.org/10.1038/s41598-023-35087-7

Giacalone G, Faraone F, Pecoraro M, Sarà M (2024) Hidden in the Bark: The Unexpected Presence of the Leaf-Toed Gecko, Euleptes Europaea (Gené, 1839) (Squamata, Sphaerodactylidae), in Sicily. Biogeographia – The Journal of Integrative Biogeography 39 (2). https://doi.org/10.21426/B639263791

Hastie T, Tibshirani R (1986) Generalized Additive Models. Statistical Science 1 (3): pp. 297-310. https://doi.org/10.1214/ss/1177013604

Knoepffler L-P (1973) Le Phyllodactyle d'Europe, une intéressante relique de la faune insulaire méditérannéenne. Annales du Museum d'Histoire Naturelle de Nice, Tome 1, Fascicule 1 : pp. 87-89.

Kulesza V, Delaugerre M, Cheylan M (1995) Le Phyllodactyle d'Europe *Phyllodactylus europaeus* (Gené, 1839): Découverte d'une population continentale en Provence. Faune de Provence (CEEP) 16: pp. 113-115. https://www.researchgate.net/publication/322775334_Le_phyllodactyle_d'Europe_Phyllodactylus_europaeus_Gene_1839_decouverte_d'une_population_continentale_en_Provence

Marchand M-A, Renet J, Roy C (2017) Liste rouge régionale des amphibiens et reptiles de Provence-Alpes-Côte d'Azur. https://www.paca.developpement-durable.gouv.fr/IMG/pdf/cenpaca_listerougeamphibiens_def.pdf

Massemin A (2024) Impact des travaux et mesures de gestion sur les populations de Phyllodactyle d'Europe des îles du Grand Rouveau (Six-Fours-les-Plages, 83) et du Château d'If (Marseille, 13). Intérêt des gîtes artificiels pour les suivis de population. Mémoire de fin d'étude présenté pour l'obtention du Diplôme d'Ingénieur de l'ENGEES. pp. 1-60

Nordberg E, Schwarzkopf L (2019) Heat seekers: A tropical nocturnal lizard uses behavioral thermoregulation to exploit rare microclimates at night. Journal of Thermal Biology 82: pp.107-114. https://doi.org/10.1016/j.jtherbio.2019.03.018

Perry C, Gangloff E, Rutschmann A (2025) Warm Nocturnal Temperatures Act as an Ecological Trap for a Diurnal Lizard. Oikos 2025 (7). https://doi.org/10.1002/oik.11330

Quessada J, Rivière V, Cheylan M, Guillaumet A (2024) Selection and Daily Occupancy of Artificial Retreat-Sites by a Declining Mediterranean Island Specialist, the European Leaf-Toed Gecko Euleptes Europaea. Acta Herpetologica 19 (2): pp. 123-137. https://doi.org/10.36253/a_h-14527

Renet J, Monnet C (2021) État des lieux des populations d'Eulepte d'Europe en région PACA : Vers l'élaboration d'une stratégie conservatoire régionale en faveur de l'espèce. Rapport d'étude.

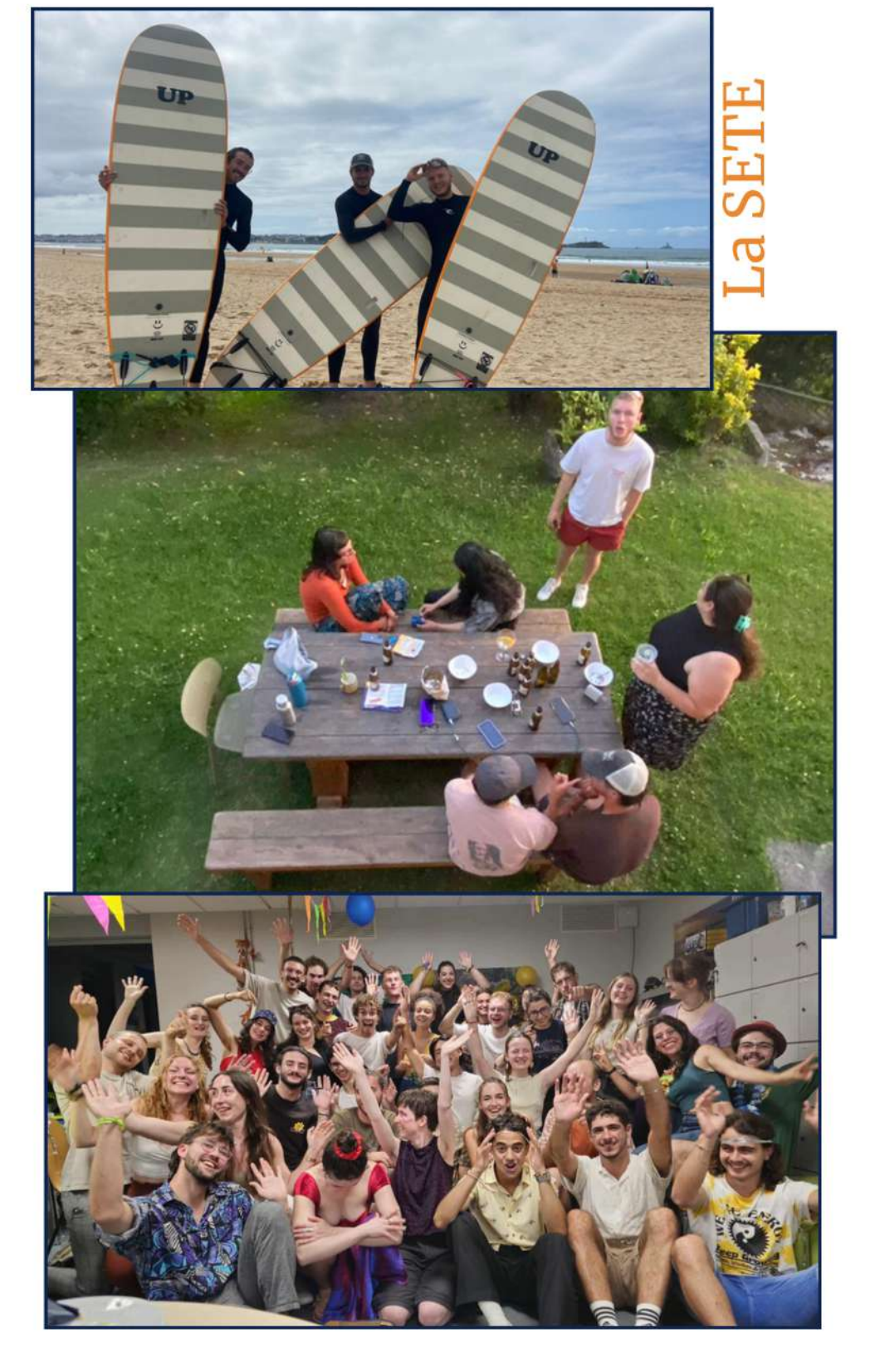
Rivière V, Auda P, Cheylan M, Damery C, Ugo J (2016) Restauration écologique de l'île du Grand Rouveau (Var) - Bilan de 4 années d'intervention Perspectives.

Rivière V, Lelong P, Damery C, Zucconi P, Runde-Cariou S (2021) Fiche île: Grand Rouveau - Sous-bassin: France Sud. Atlas of Small Mediterranean Islands. https://pimatlas.org/explorer-atlas/iles/grand-rouveau

Salvidio S, Lanza B, Delaugerre M (2011) Euleptes europaea. Fauna d'Italia Reptilia : pp. 258-270. https://hal.science/hal-03712438v1

Wood S (2017) Generalized Additive Models: An Introduction with R (2nde edition) (86). Chapman & Hall - CRC, Boca Raton, 2017.

Autres missions

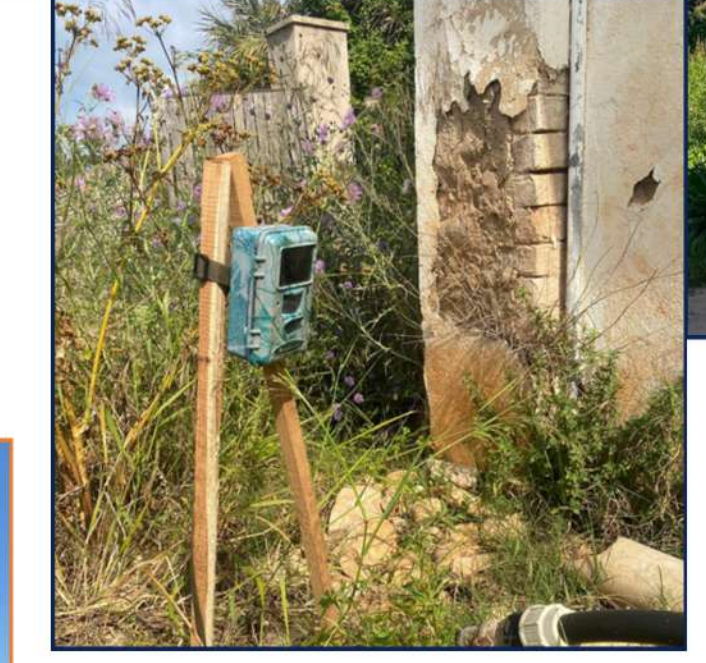












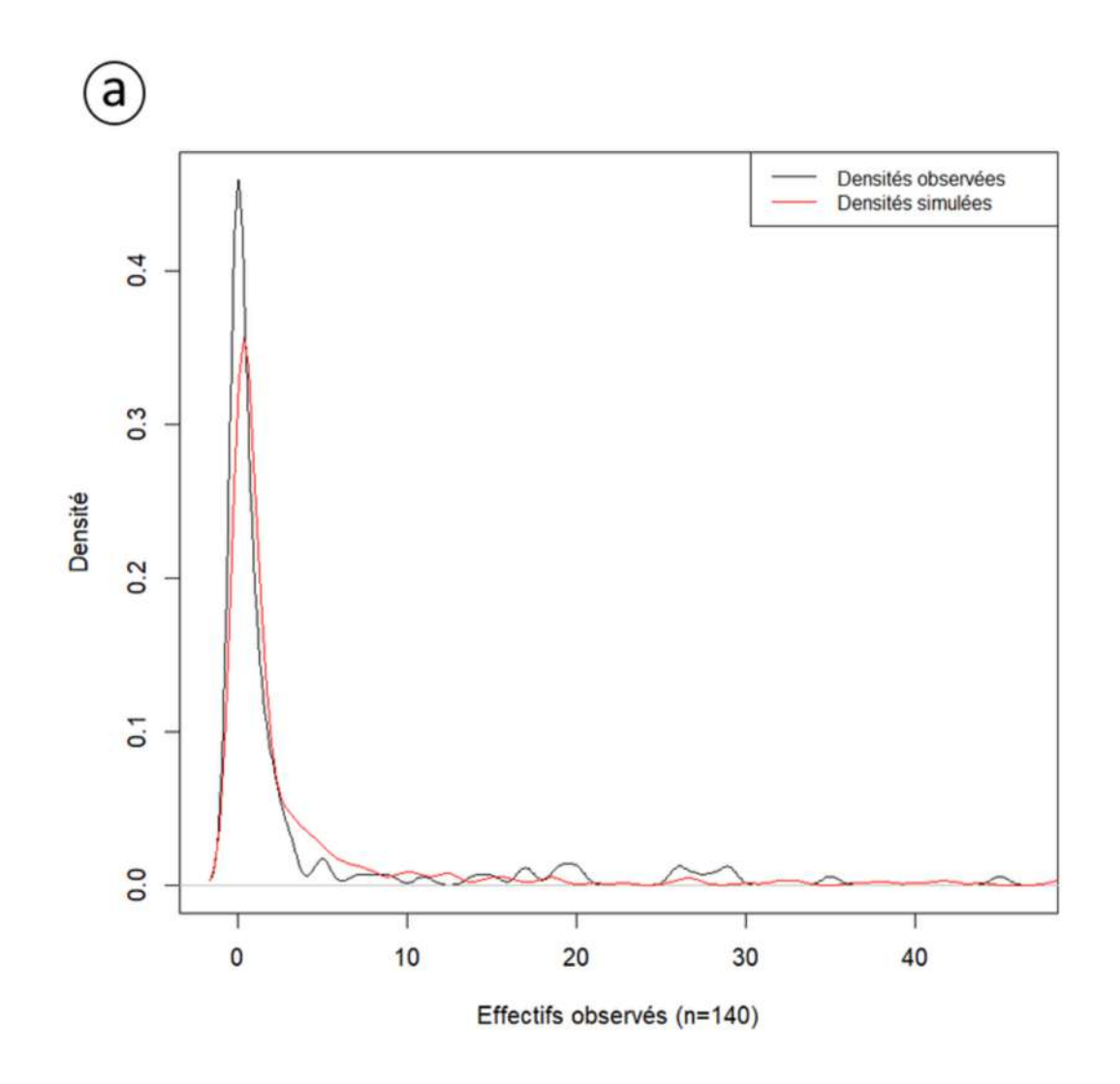


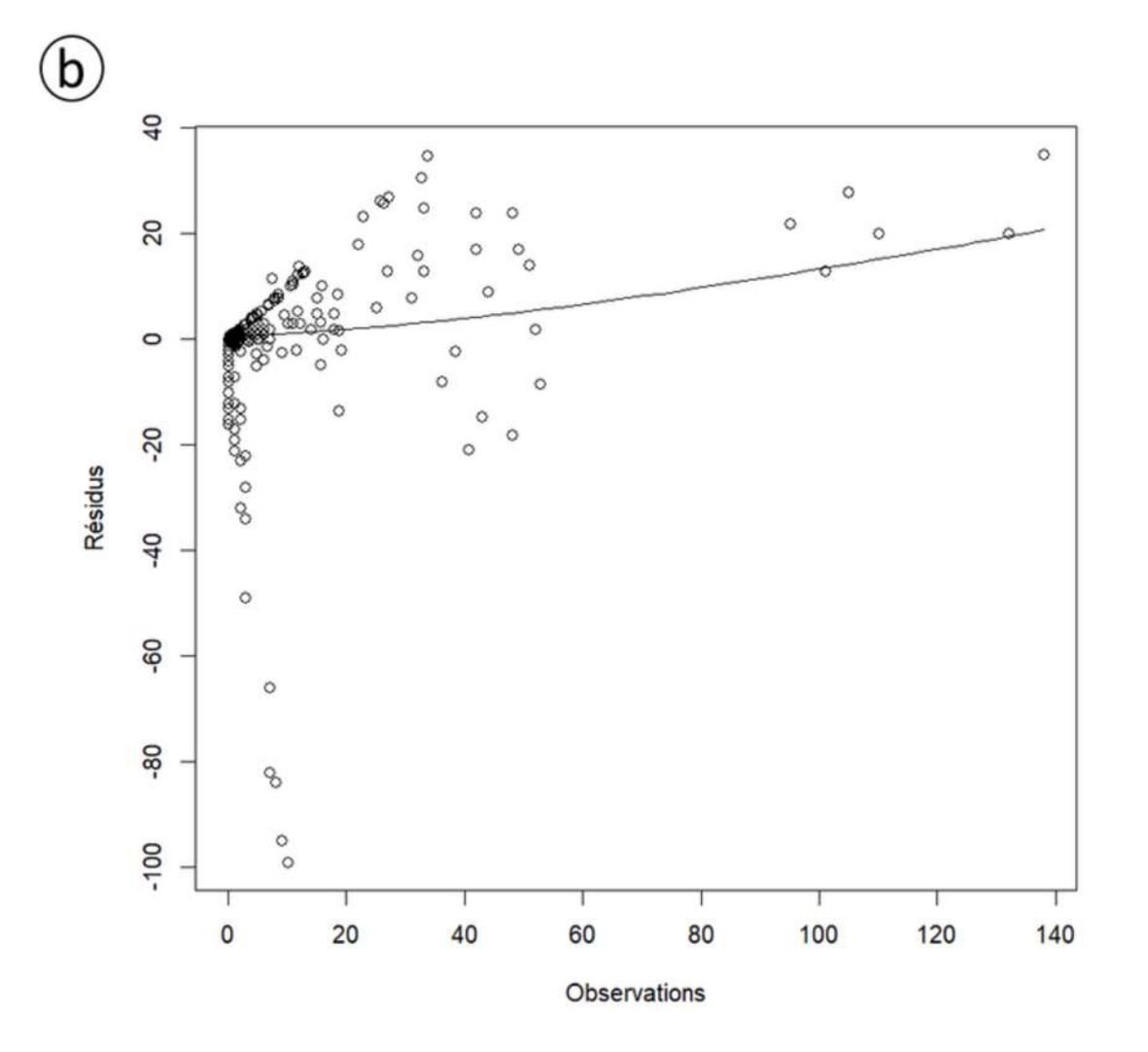
Saint-Honorat Phyllo, Lézard vert & Faisan

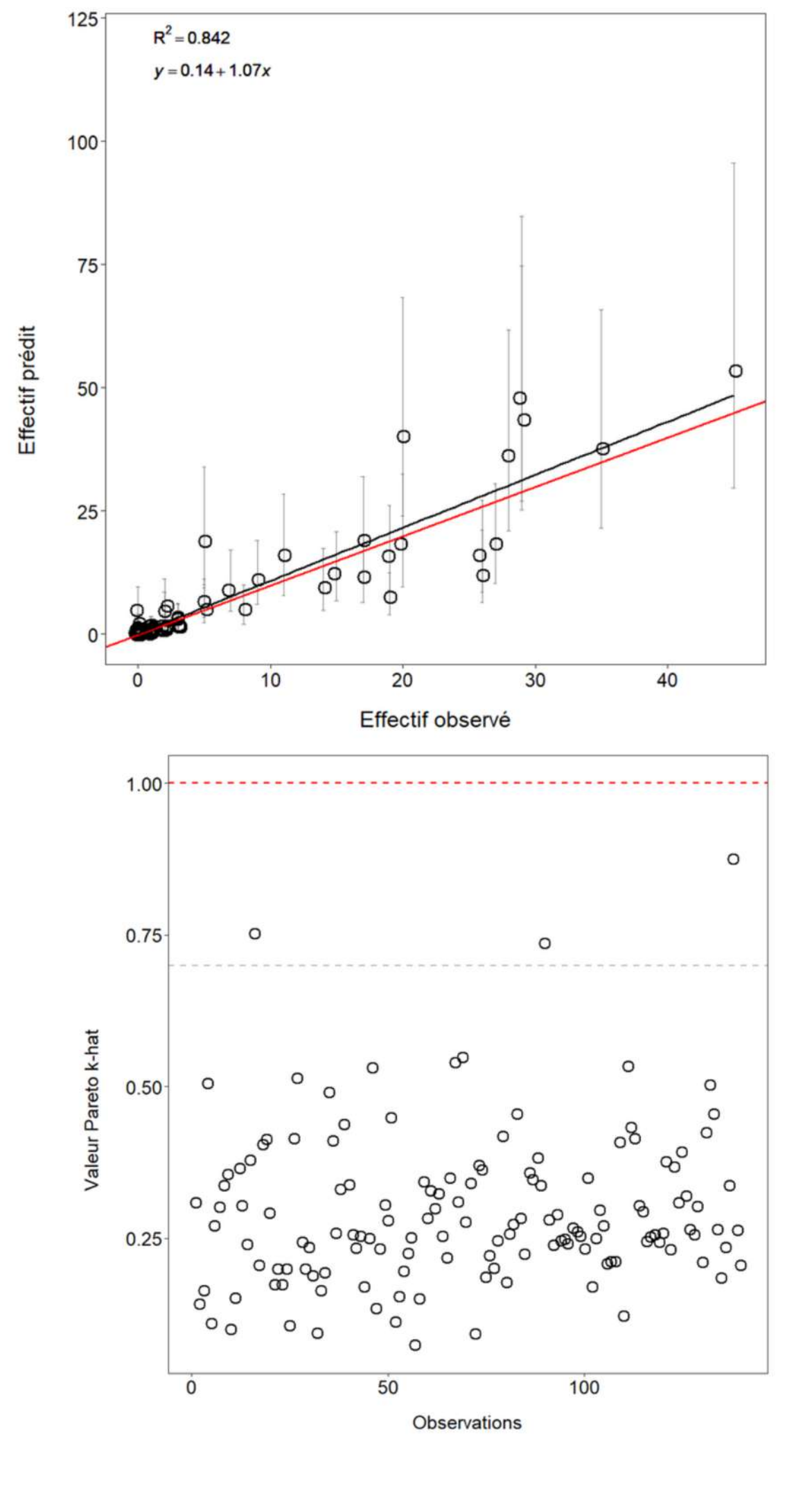




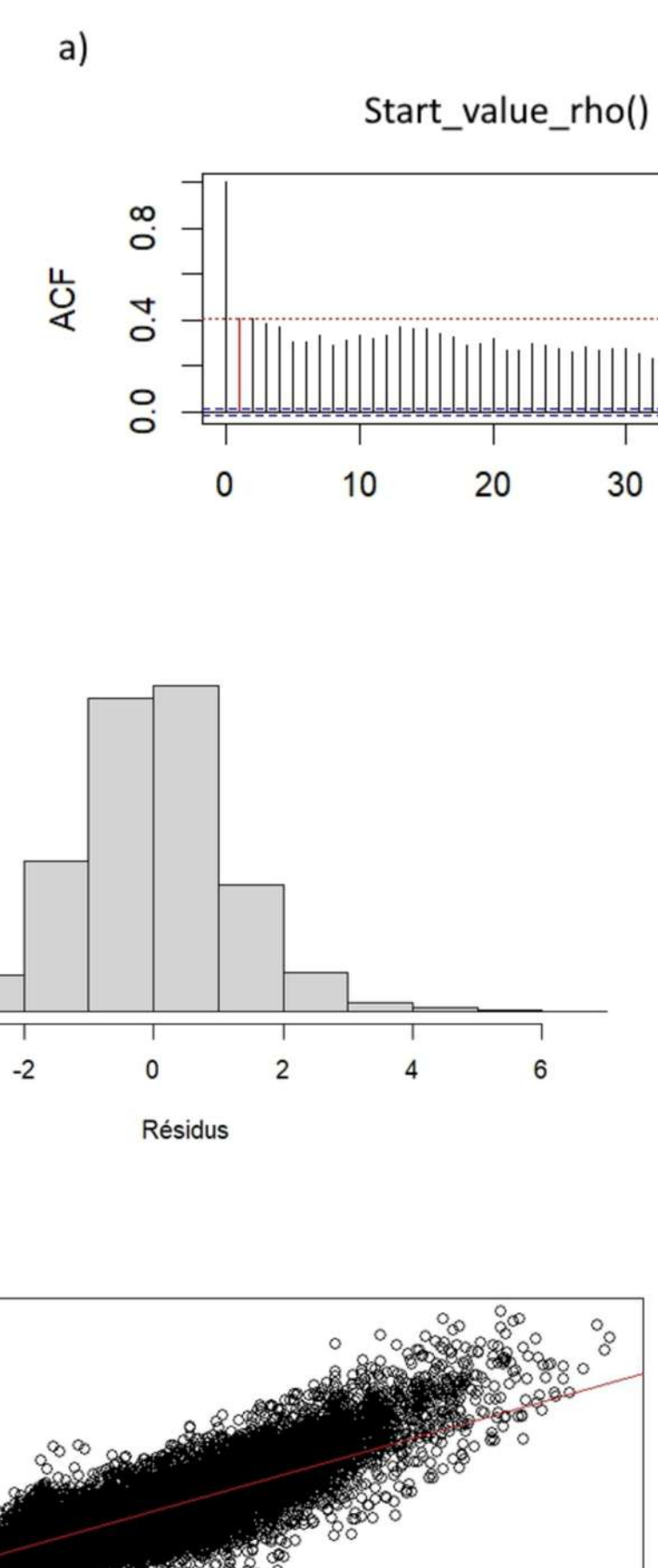
Validité du modèle GLMMB

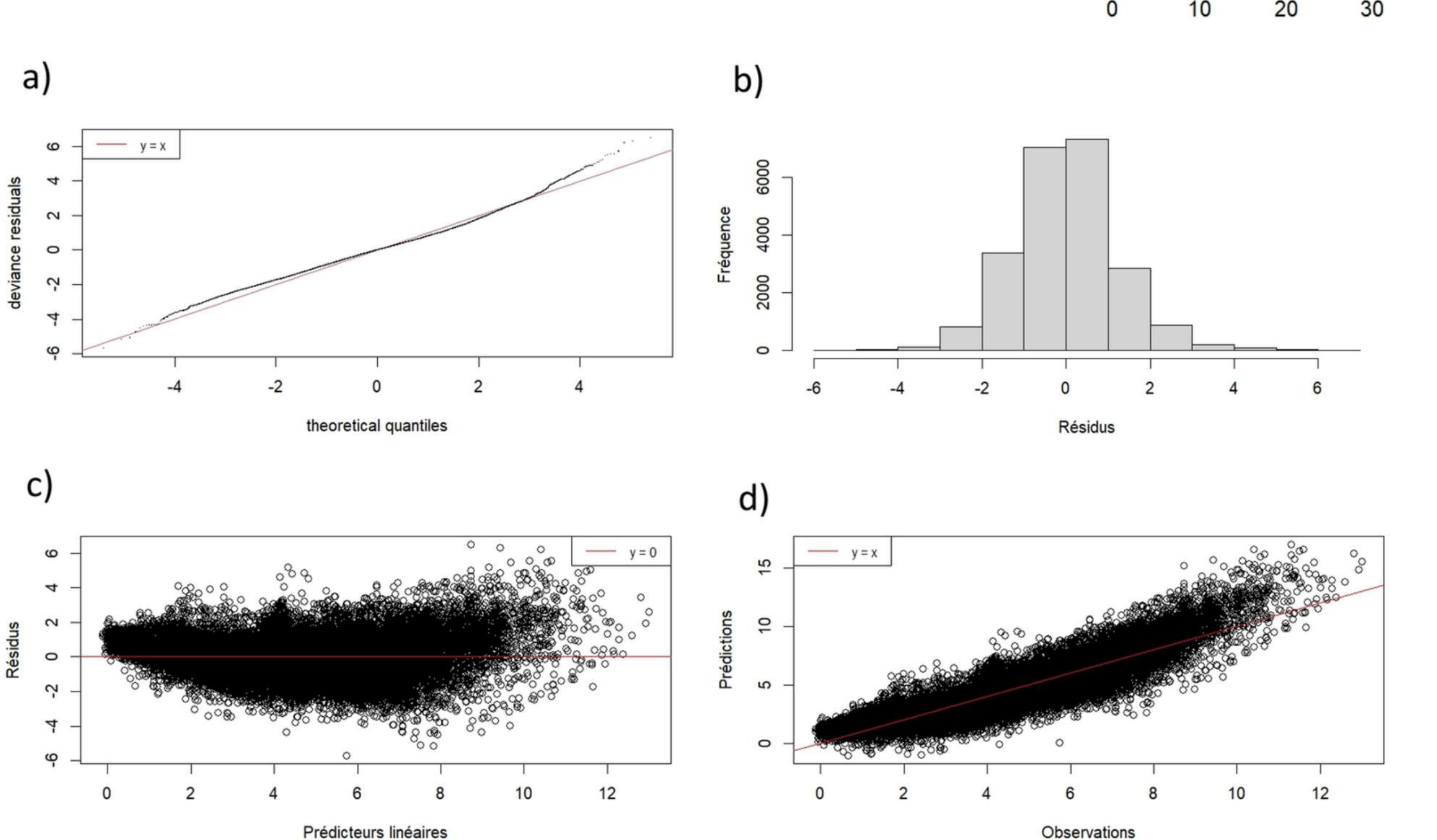


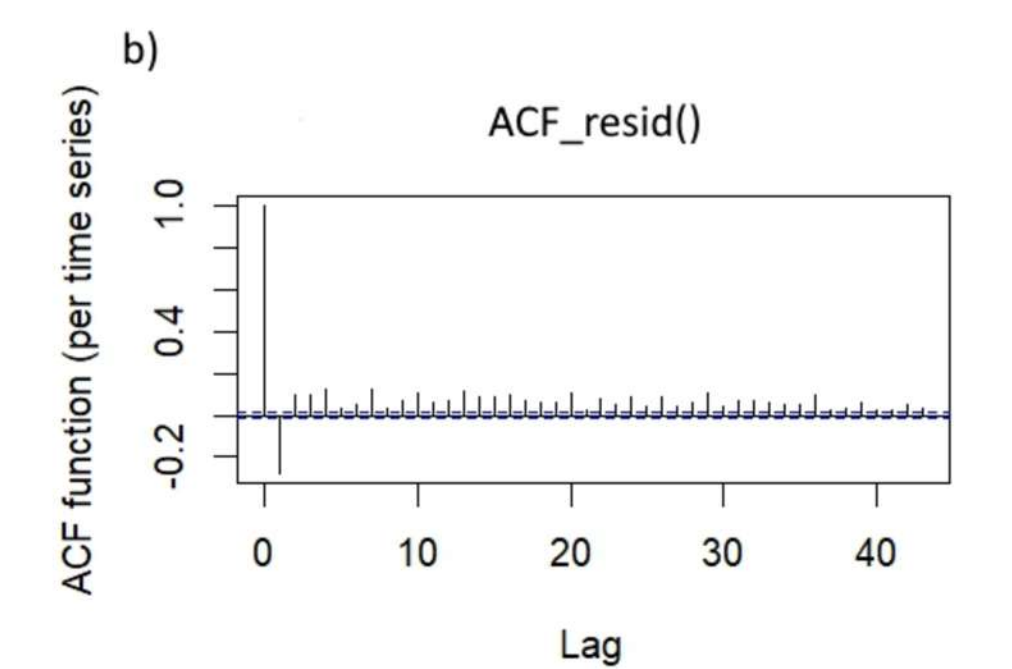


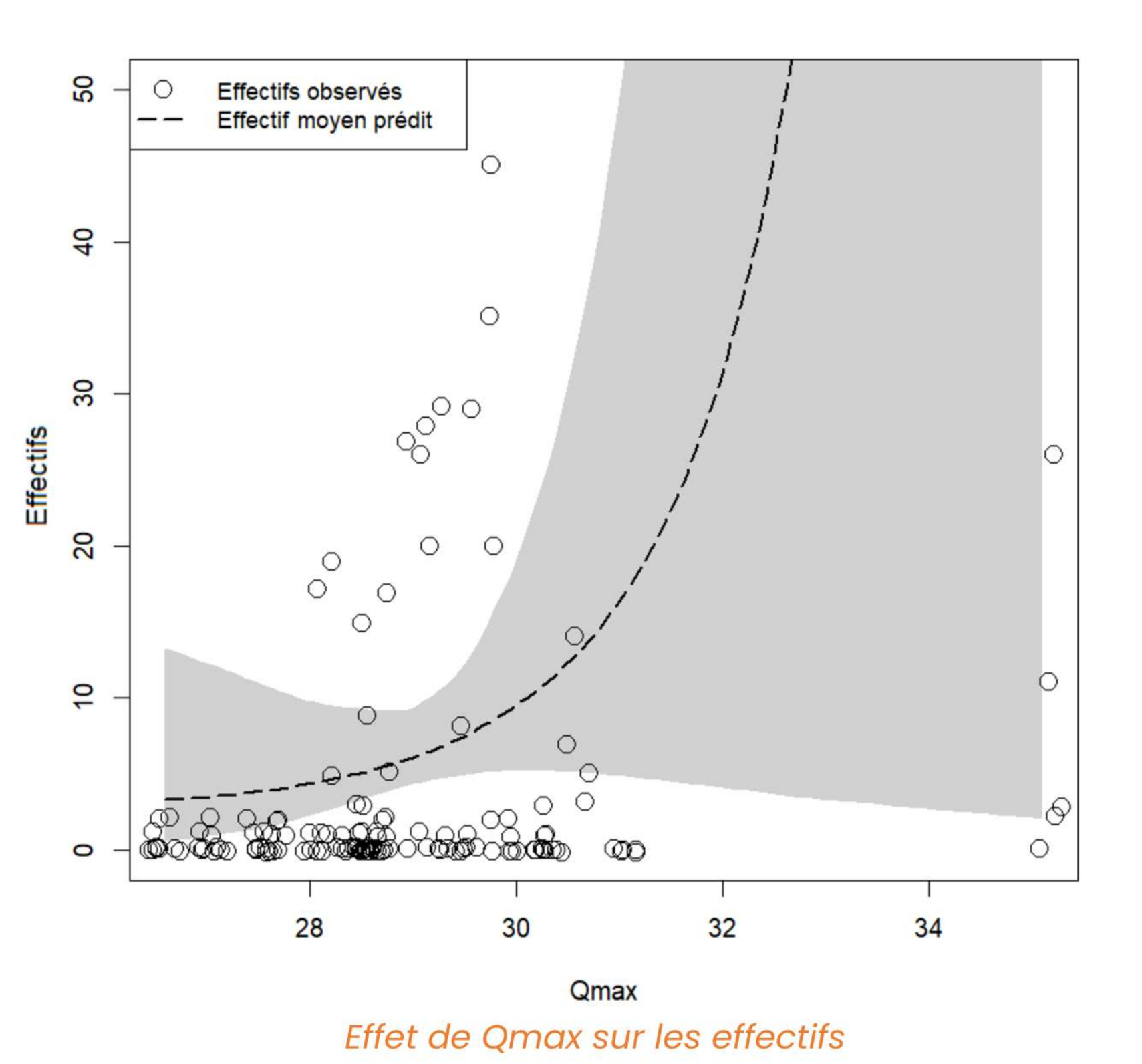


Validité du modèle GAMM









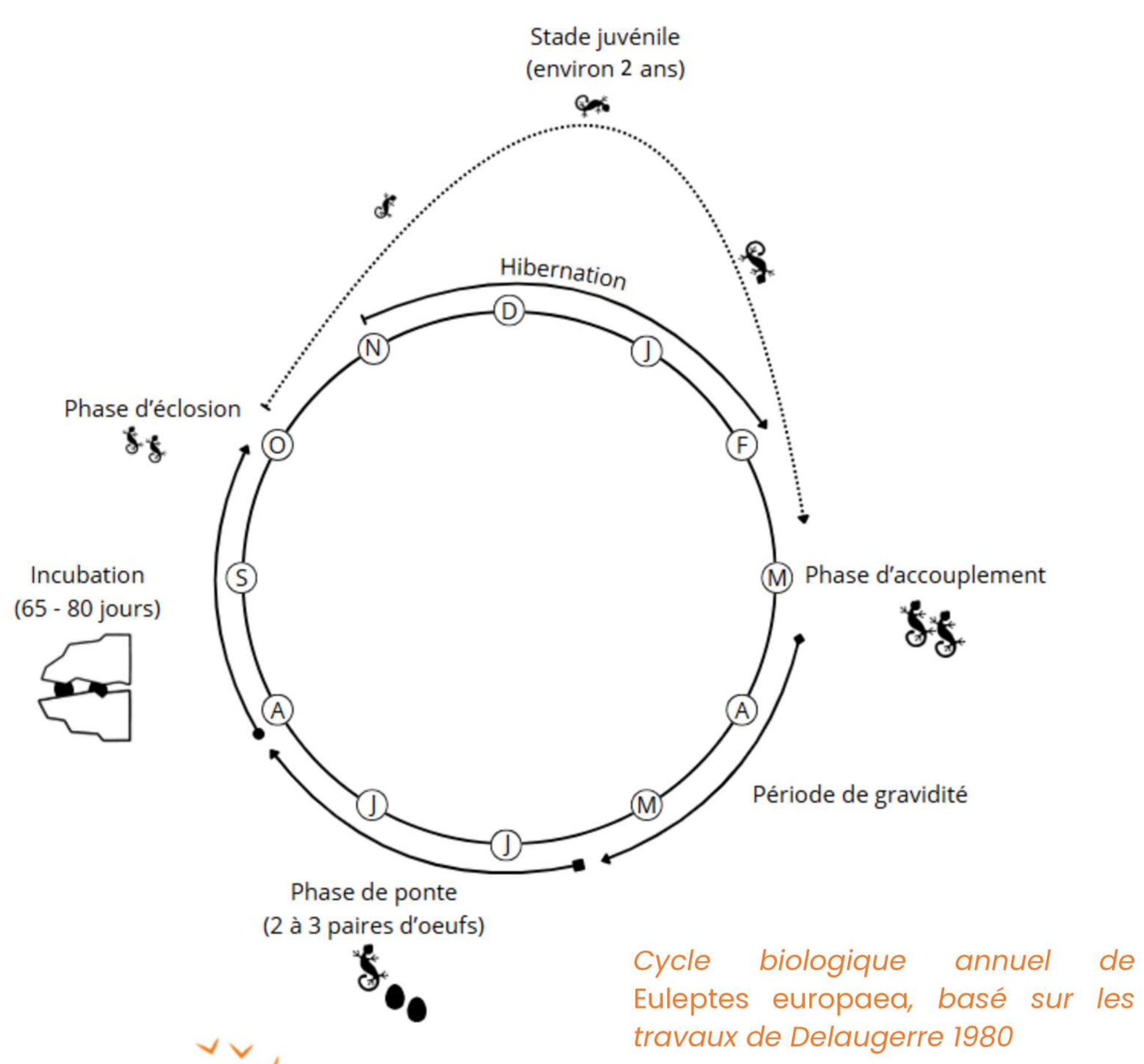
Introduction

• $Qmax \in [26; 36] \, ^{\circ}C$

- Tendance mais non significative
 - Beaucoup d'observations de forts effectifs sur la plage [28 ; 32] °C

Cycle de vie

- Début de la reproduction au printemps
- Cycle de reproduction long
 → 7 mois
- Maturité sexuelle atteinte au 3ème printemps
- Cycle biologique thermodépendant



Résultats du modèle GAMM

Coefficients des paramètres

	Estimate	Erreur standard	Pr(> t)
Intercept (attract_nulle)	4.21	0.09	< 2e-16 ***
attract_faible	0.13	0.04	9.75e-4 ***
attract_forte	0.59	0.04	< 2e-16 ***

Significativité approximative des smooth terms

	edf	p-value
s(temps): attract_nulle	7.76	< 2e-16 ***
s(temps): attract_faible	7.00	< 2e-16 ***
s(temps): attract_forte	8.32	< 2e-16 ***
s(heure): attract_nulle	7.47	< 2e-16 ***
s(heure): attract_faible	8.50	< 2e-16 ***
s(heure): attract_forte	10.47	< 2e-16 ***
s(jour)	305.69	< 2e-16 ***

edf autorisés: 40

edf autorisés: 24

R-sq. $(adj) = 0.791$	0.791
fREML	35135

Deviance explained	79.4%
Scale est.	1.7446

Résultats du suivi des effectifs

Occupation hétérogène

Hétérogénéité des effectifs moyens \overline{e} sur les 5 relevés :

•
$$n^{\circ}23 (\overline{e} = 27.4 \pm 14.2 ; max = 45)$$
 •

• n°5 (
$$\overline{e}$$
 = 26 ± 3,5; max = 29) •

• n°13 (
$$\overline{e}$$
 = 1,2 ± 1,3; max = 3) •

• n°33 (
$$\bar{e}$$
 = 1 ± 1; max = 2) •

• n°8
$$(\overline{e} = 0)$$

• n°15
$$(\bar{e} = 0)$$
 •



Création des classes d'attractivité Nulle $\overline{e} = 0$; Faible $\overline{e} < 5$ & Forte $\overline{e} \ge 5$

Saisonnalité observée

Relevé	Effectif total (session)
Automne (06/11/2024)	126
Hiver (23/01/2025)	75
Printemps (22/04/2025)	140
Printemps (03/06/2025)	107
Été (26/06/2025)	48

Tableau des effectifs totaux par relevé

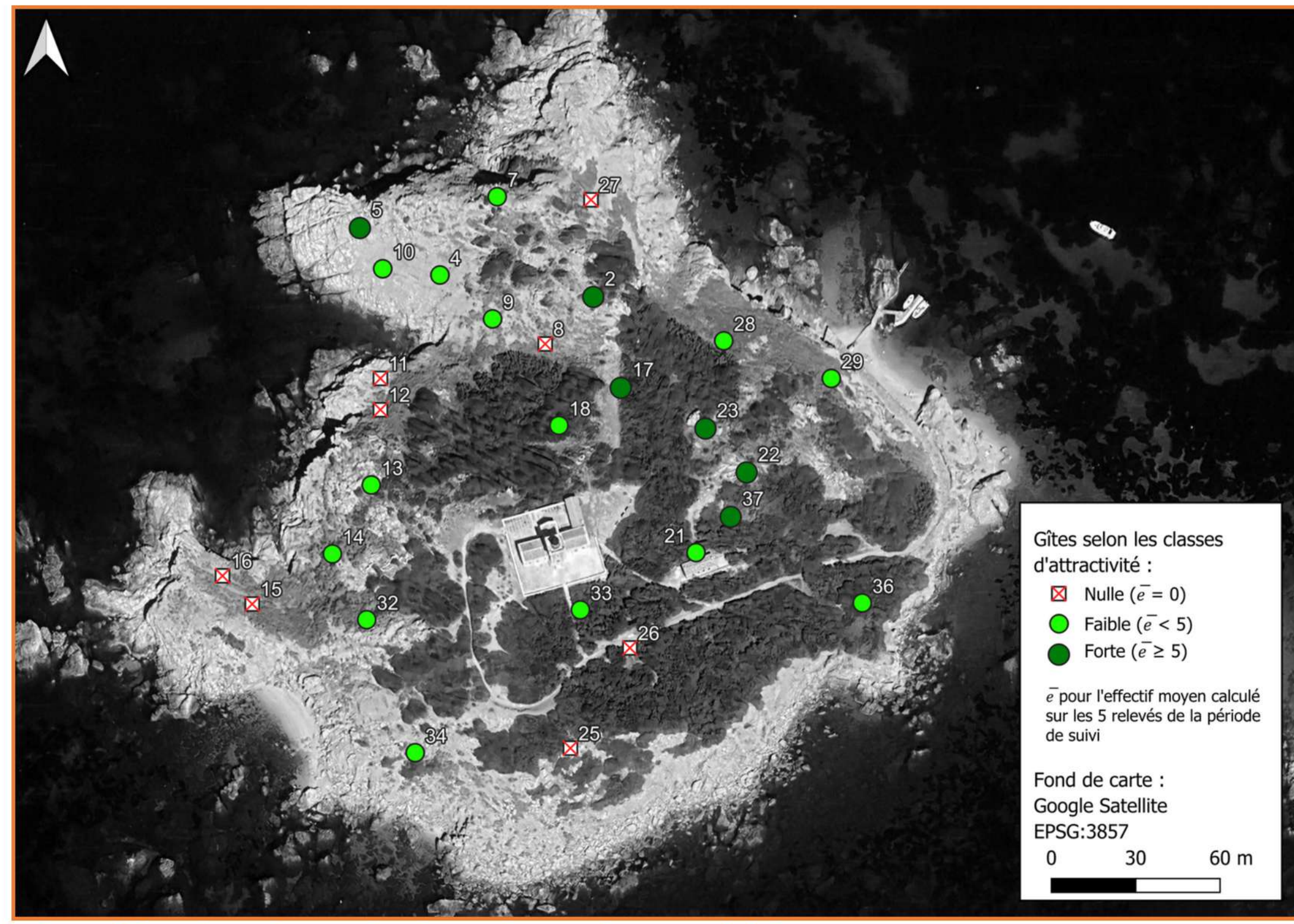


Le printemps et l'automne sont propices à l'observations d'individus dans les gîtes. Températures ?

Comportement social de reproduction?

Résultats du suivi des effectifs

Introduction

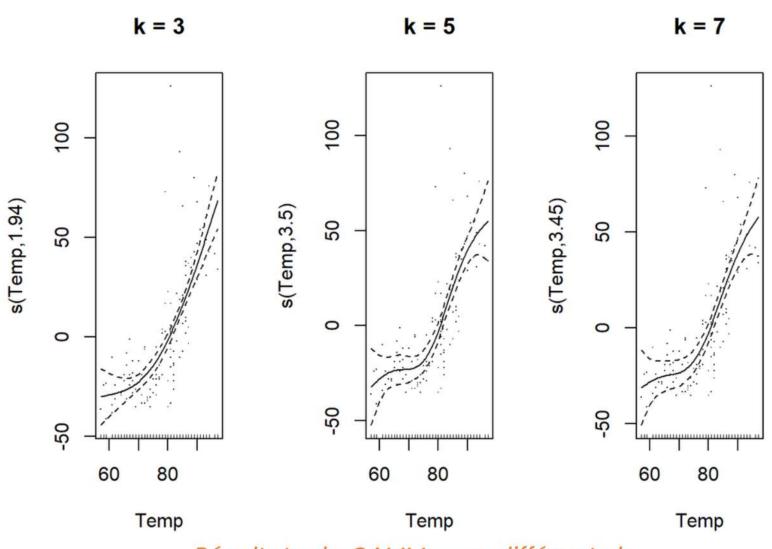


Distribution spatiale

Conclusion

- Pas de grande tendance spatiale évidente
- Gîtes de la façade Ouest peu attractifs
- Gîtes de la façade Est plus favorables
- Exposition à des vents froids du Nord-Ouest (mistral) ?

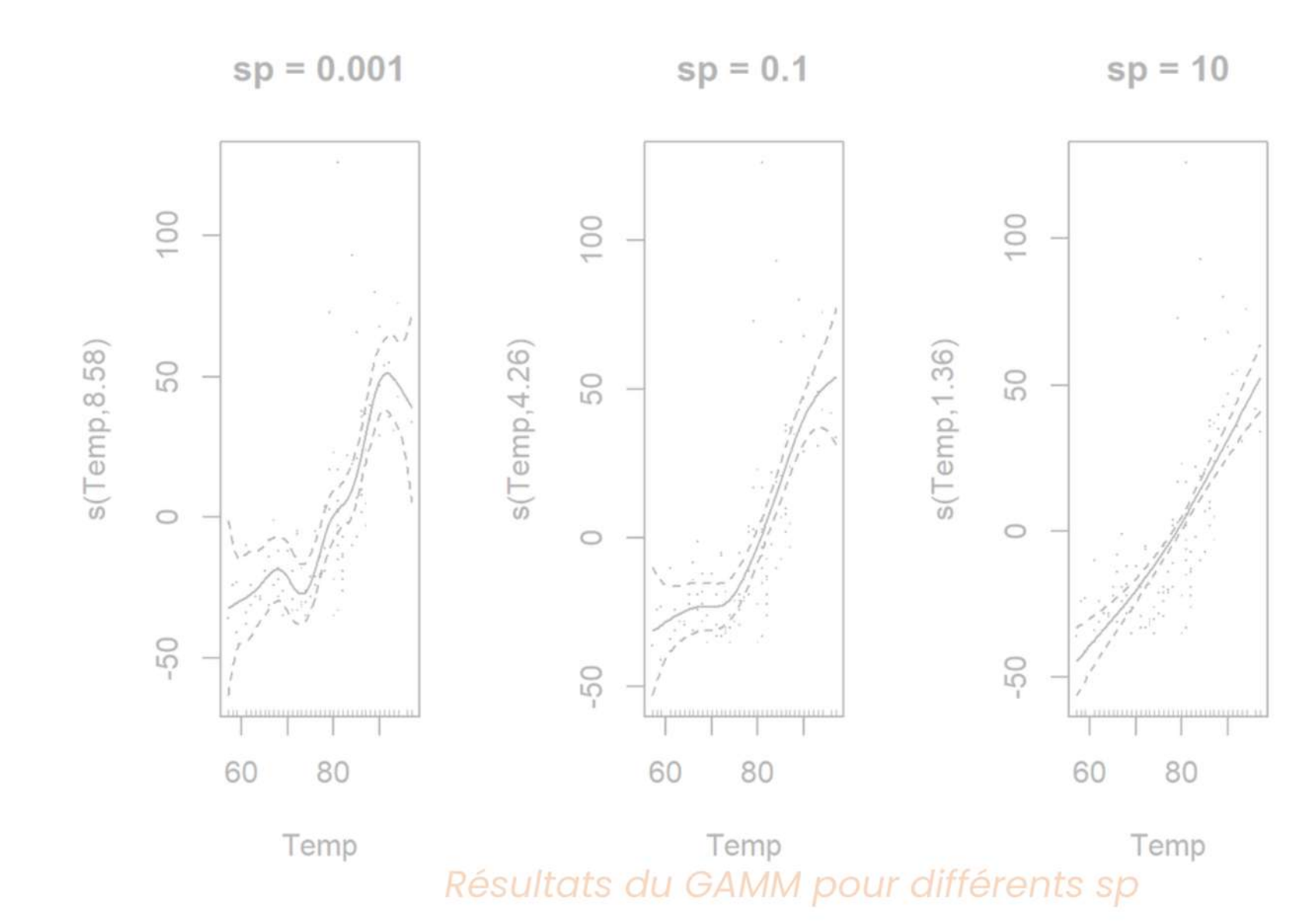
Répartition des gîtes selon leur classe d'attractivité



Résultats du GAMM pour différents k

Résultats modèle GAMM

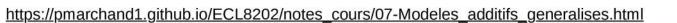
- k grand = meilleur ajustement
- k trop grand non nécessaire

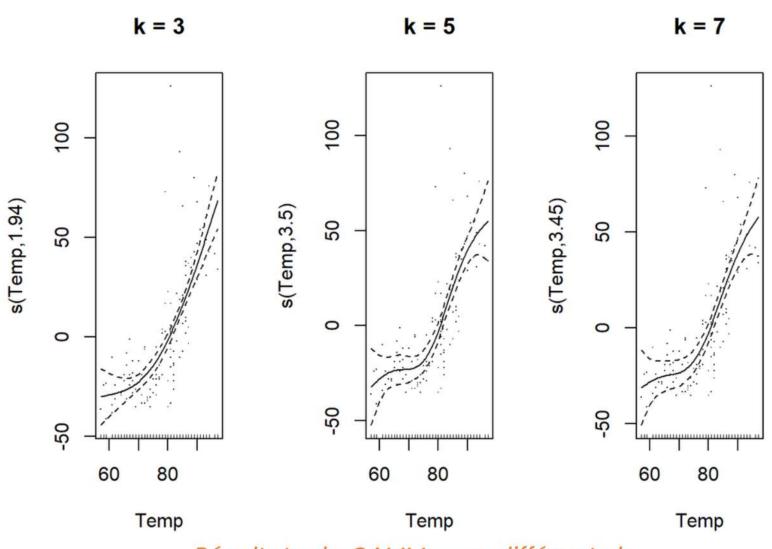


Utilisation paramètre lissage

- k grand
- compromis entre ajustement et simplicité
- fonction "REML"



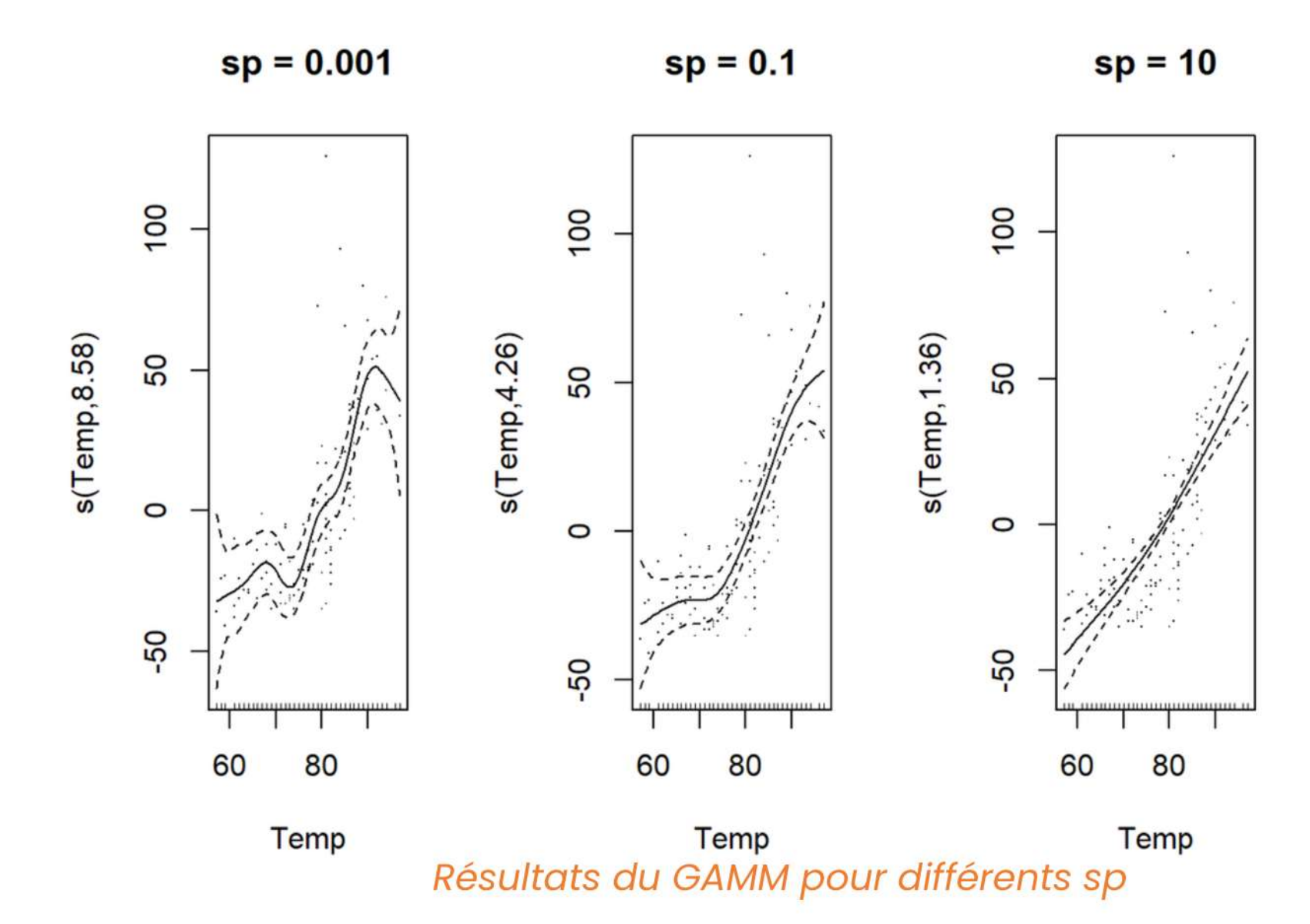




Résultats du GAMM pour différents k

Résultats modèle GAMM

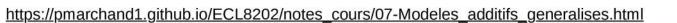
- k grand = meilleur ajustement
- k trop grand non nécessaire

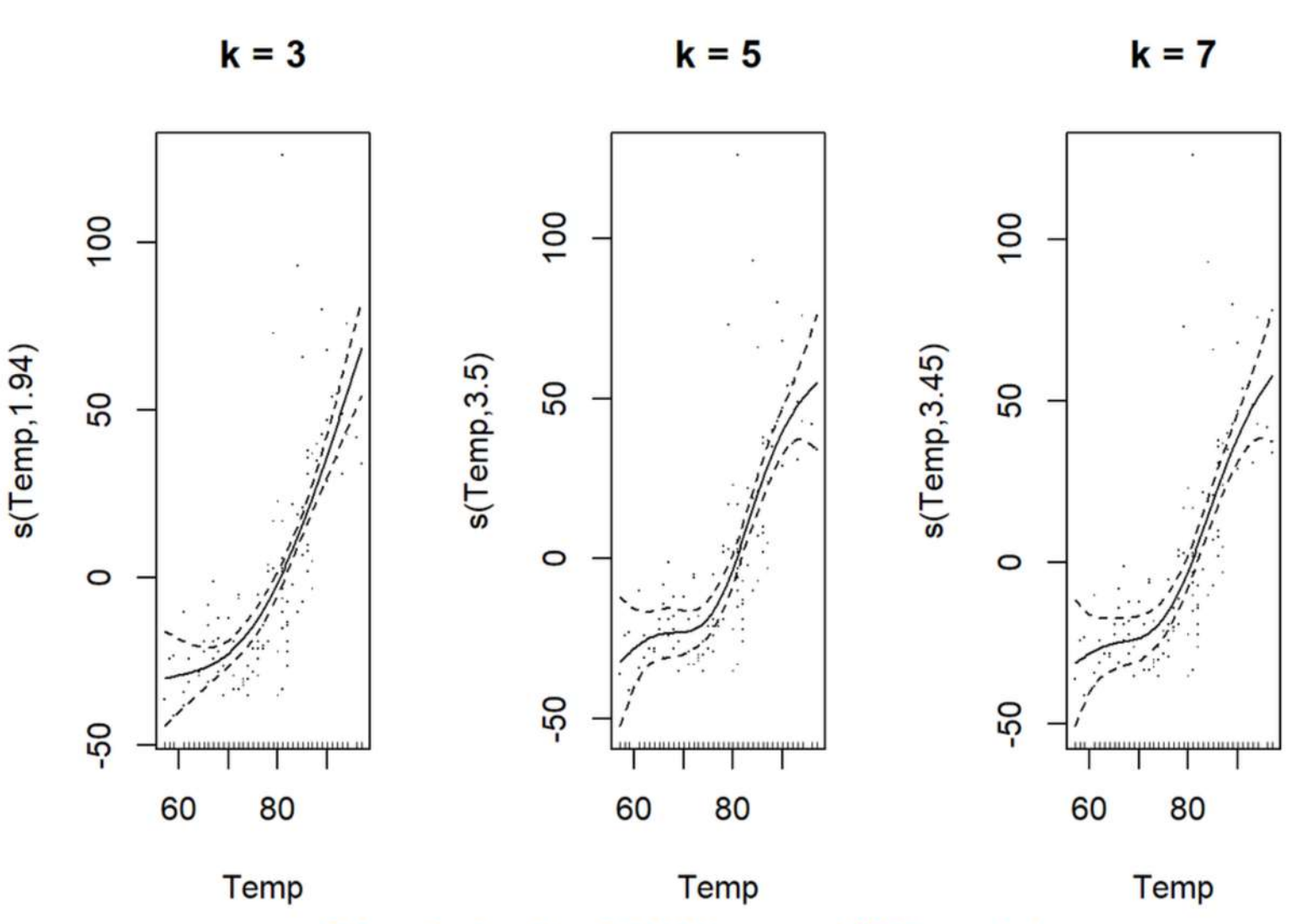


Utilisation paramètre lissage

- k grand
- compromis entre ajustement et simplicité
- fonction "REML"



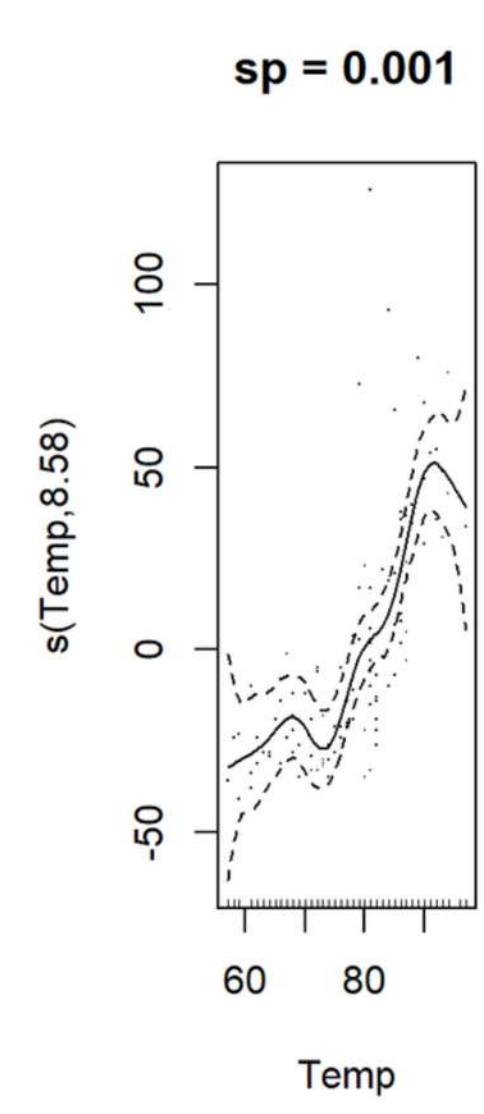


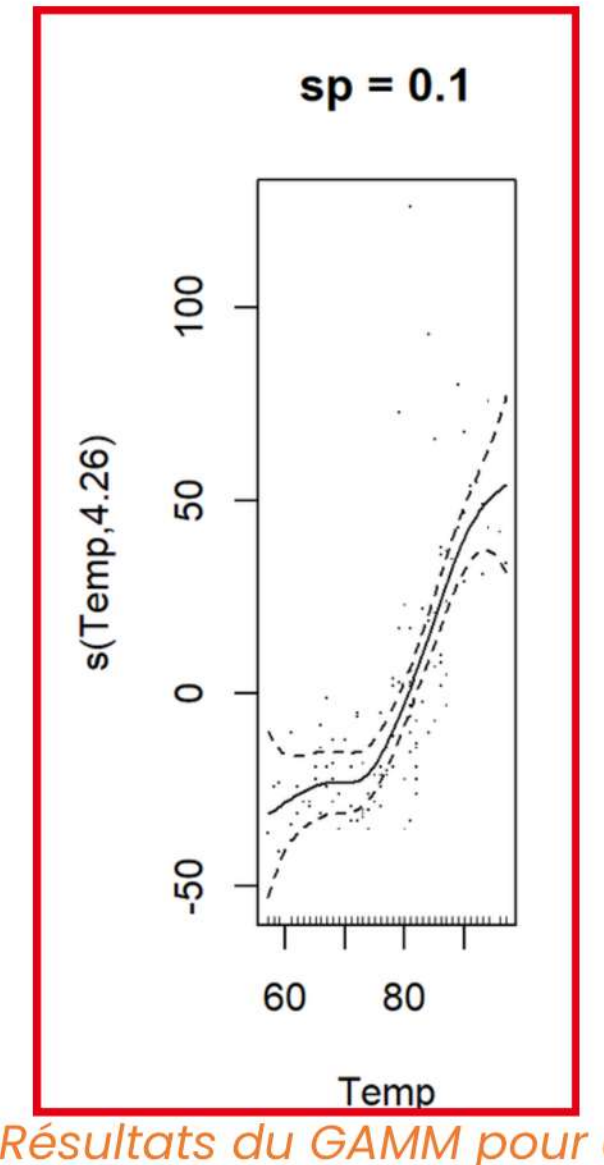


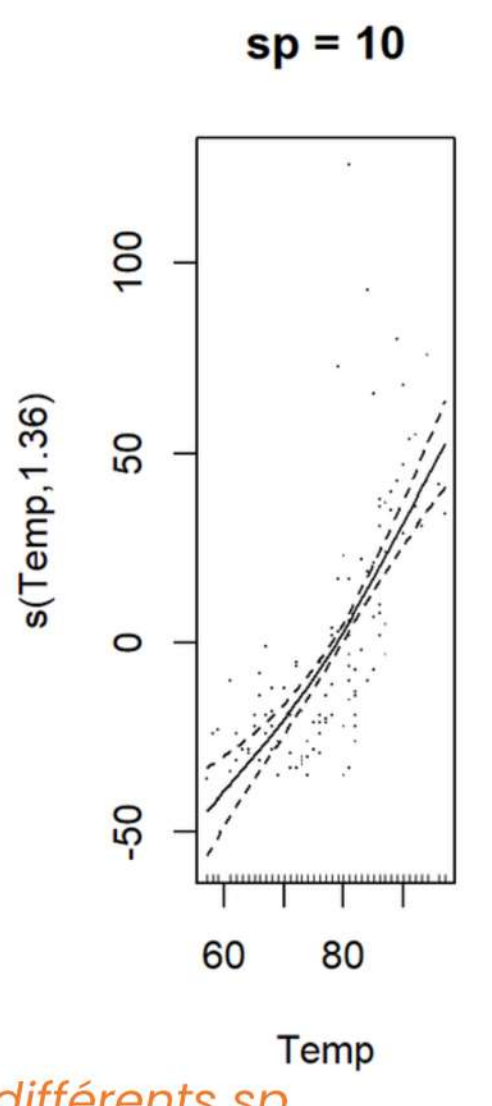
Résultats du GAMM pour différents k

Résultats modèle GAMM

- k grand = meilleur ajustement
- k trop grand non nécessaire







Résultats du GAMM pour différents sp

Utilisation paramètre lissage

- k grand
- compromis entre ajustement et simplicité
- fonction "REML"

